

บทที่ 2

เอกสารและงานวิจัยที่เกี่ยวข้อง

บทนี้กล่าวถึงทฤษฎี เอกสารและงานวิจัยที่เกี่ยวข้องกับงานวิจัยนี้ซึ่งประกอบด้วย
กระบวนการเคลือบฟิล์มบาง โครงสร้างของฟิล์มบาง กระบวนการโกล์วิดิชาร์จ การเคลือบฟิล์ม
บางด้วยวิธีสปัตเตอริง ระบบเคลือบแบบดีซีเมกนิตรอนสปัตเตอริง ระบบเคลือบแบบอันนาลอนซ์
เมกนิตรอนสปัตเตอริง การเคลือบฟิล์มบางด้วยวิธีรีแอคติฟสปัตเตอริง และการหาลักษณะเฉพาะ
ของฟิล์มบาง โครงเมียนวนเดินในไตรค์ซึ่งมีรายละเอียดดังนี้

กระบวนการเคลือบฟิล์มบาง

การเคลือบฟิล์มบาง (Thin Film) ในสูญญากาศร้อนแก๊สโดย Bunsen และ Grove
ในปี คศ. 1852 โดยพื้นฐานแล้วแนวคิดเกี่ยวกับ การเคลือบในสูญญากาศหรือการเคลือบฟิล์มบาง
คือ การเรียงตัว (Fabricated) โดยการตกเคลือบ (Deposition) ของสารเคลือบในลักษณะอะตอมเดียว
บนวัสดุรองรับ (Substrate) จนเกิดเป็นชั้นของฟิล์มที่บางมาก ในระดับนาโนเมตรถึงไมโครเมตร
ซึ่งอาจถูกได้ว่า “ฟิล์มบาง (Thin Film) หมายถึง ชั้นของอะตอมหรือกลุ่มของอะตอมที่ขับรวมกัน
เป็นชั้นบาง ๆ” อย่างไรก็ได้การระบุว่าฟิล์มใดเป็น “ฟิล์มบาง” นั้นอาจพิจารณาได้จากลักษณะการใช้
งานว่าใช้สมบัติค้านโลกของฟิล์ม กล่าวคือ ถ้าเป็นการใช้สมบัติเชิงผิว (Surface Properties) จะเรียก
ฟิล์มนั้นว่า “ฟิล์มบาง” แต่ถ้าเป็นการใช้สมบัติเชิงปริมาตร (Bulk Properties) จะเรียกฟิล์มนั้นว่า
“ฟิล์มหนา” ทั้งนี้จะเห็นว่า ฟิล์มเดิมกันนั้นอาจเป็นทั้ง “ฟิล์มบาง” หรือ “ฟิล์มหนา” ก็ได้ขึ้นกับ
ลักษณะการใช้งานเป็นสำคัญ (Bunshah, 1994)

ปัจจุบันมีการนำฟิล์มบางมาประยุกต์ใช้ในงานค้านต่าง ๆ มากมาย เช่น งานค้าน
อิเล็กทรอนิกส์ เช่น สารกึ่งตัวนำ ฟิล์มตัวนำ และฟิล์มตัวค้านทาน หรืองานค้านพัคหนาสตอร์ เช่น
เส้นสี กระเจกะท้อนแสง กระเจกะท้อนความร้อน เป็นต้น นอกจากนี้ยังสามารถใช้วิธีการเคลือบ
ฟิล์มบางในการเตรียมสารตัวอย่างสำหรับใช้ในการศึกษาสมบัติทางกายภาพของวัสดุในรูปของ
ฟิล์มบาง ซึ่งสมบัติบางอย่างไม่สามารถวัดได้เมื่อยู่ในสภาพเป็นก้อน (Bulk) เพราะจะนั้นข้อมูล
เหล่านี้มีประโยชน์อย่างมากต่อการพัฒนาวัสดุเพื่อนำไปใช้ในอุตสาหกรรม

การเคลือบฟิล์มบางเป็นกระบวนการที่ทำให้สารเคลือบตกเคลือบลงบนผิววัสดุรองรับ
ที่ต้องการ ซึ่งสามารถทำได้ทั้งกระบวนการทางเคมีหรือกระบวนการทางไฟฟ้าสถิติ โดยพื้นฐานแล้ว
กระบวนการเคลือบฟิล์มบางมีขั้นตอนสำคัญ 3 ขั้นตอน (Smith, 1995) ดังนี้คือ

1. การสร้างสารเคลือบ (Source) โดยทั่วไปแล้วสารเคลือบอาจอยู่ในรูปของ ของเหลว ไอ หรือแก๊ส ก็ได้ แต่สารเคลือบจะทำการเคลือบนั้นจำเป็นต้องอยู่ในรูปของไอระเหย เท่านั้น ซึ่งวิธีการที่ทำให้สารเคลือบกลายเป็นไอระเหยสามารถทำได้หลายวิธี เช่น การให้ความร้อน หรือการระดมยิงด้วยอนุภาคที่มีพลังงานสูง เป็นต้น

2. การเคลื่อนย้ายสารเคลือบมาขึ้นสู่ครองรับ (Transport) ในภาวะสุญญากาศ ไอระเหยของสารเคลือบอาจจะมีการเคลื่อนที่เป็นเดินตรง ไปยังสู่ครองรับ หรืออาจจะเคลื่อนที่ไป ในลักษณะของไอล ซึ่งจะทำให้ไอระเหยของสารเคลือบมีการชนกับอนุภาคอื่นๆภายในภาชนะ สุญญากาศ นอกจากนี้ไอระเหยอาจจะเคลื่อนที่ไปยังสู่ครองรับในลักษณะของพลาสม่าก็ได้

3. การสะสมพอกพุน (Deposition) เป็นขั้นตอนการพอกพุนของสารเคลือบและ ให้ขึ้นจนกลายเป็นชั้นของฟิล์มนางบนวัสดุครองรับ นั้นตอนนี้จะขึ้นกับเงื่อนไขของวัสดุครองรับหรือ การทำปฏิกิริยาของสารเคลือบกับวัสดุครองรับ ความต่อเนื่องของผิววัสดุครองรับ ตลอดจนพลังงาน ที่ใช้ในการเคลื่อน

โครงสร้างของฟิล์มนาง

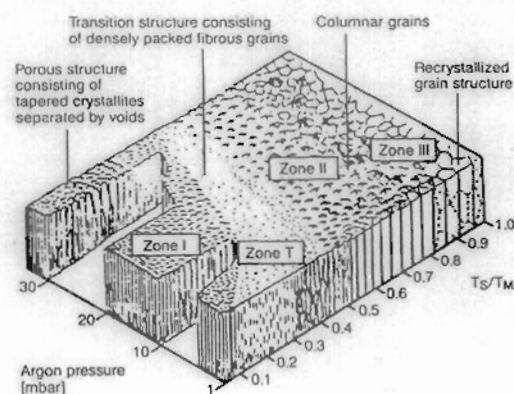
โครงสร้างของฟิล์มนางจะเป็นไปตามเงื่อนไขของอัตราส่วนระหว่างอุณหภูมิเคลือบกับ อุณหภูมิหลอมเหลว (T/T_m) ซึ่งแบ่งออกเป็น 4 ส่วน ตามลักษณะ โครงสร้างและสมบัติทางกายภาพ (ชีวารัตน์ ม่วงพัฒน์, 2544; หนึ่งฤทธิ์ แก้วไช, 2555) ดังภาพที่ 2-1

1. บริเวณ 1 (Zone1) เป็นการเคลือบ ที่เกิดในช่วงอุณหภูมิต่ำ และความดันของ เคลือบมีค่าสูง อะตอมที่อยู่บนผิววัสดุครองรับจะมีค่าสัมประสิทธิ์การแพร์ต์ต่า ทำให้เกิดการเกาะกัน เป็นกลุ่มเล็ก ๆ กระจัดกระจาด และเกิดเป็นโครงสร้างผลึกที่มีลักษณะเรียบแหลมแบบ Tapers Crystallites จากนิวเคลียสที่มีปริมาณจำกัด ทำให้เกิดความหนาแน่นของโครงสร้างต่ำ มีช่องว่าง ขนาดความกว้างในระดับ 100 \AA ที่ T/T_m เท่ากับ $0 - 0.1$ ที่ความดัน 1 mtorr ถ้าความดันสูง บริเวณนี้จะขยายกว้างสู่บริเวณที่มีอุณหภูมิสูงขึ้น และทำให้ขนาดของผลึกเพิ่มขึ้น ถ้า T/T_m เพิ่มขึ้น เนื่องจากที่ความดันสูงความหนาแน่นของแก๊สในภาชนะสุญญากาศมีมากขึ้น อนุภาคของสาร เคลือบจะเคลื่อนที่ตกลงมาได้ยากขึ้น ทำให้ออนุภาคของสารเคลือบตกลงมาได้น้อย และขณะที่ตก อาจรวมตัวกับอนุภาคอื่น ทำให้ออนุภาคที่ตกลงมามีขนาดใหญ่ และมีเวลาในการเคลื่อนที่เพื่อฟอร์ม ตัวเป็นนิวเคลียสมากขึ้น จึงทำให้ช่องว่างระหว่างเกรนมีขนาดใหญ่เกิดขึ้น ลักษณะของฟิล์มนาง ที่ชຽะระมัดระวังจะเกิดจากความไม่สม่ำเสมอของการ ตกของนิวเคลียส โดยอุณหภูมิที่มีผลต่อการ ตกของฟิล์มนักจะมาจากไออกอนที่ระดมยิงเป็นส่วนใหญ่

2. บริเวณ T (Zone T) เป็นบริเวณด้านบนสำหรับการเคลือบฟล์มด้วยระบบสปีดเตอริงโดยที่ค่าของ T/T_m อยู่ในช่วง 0.1 - 0.5 ที่ความดันขณะเคลือบประมาณ 1 mtorr เกิดในช่วงระหว่างบริเวณ 1 และบริเวณ 2 อะตอมที่อยู่บนผิวสัมผัสรองรับจะมีปริมาณมากขึ้น และได้รับพลังงานจากการชนของอนุภาคสารเคลือบ ทำให้อุณหภูมิของวัสดุรองรับเพิ่มขึ้น ค่า Surface Mobility จะเพิ่มขึ้น และโครงสร้างในบริเวณ 1 ก็จะเข้าสู่บริเวณ T ซึ่งจะเริ่มมีเกรนขาว (Fibrous Grain) เดิมที่นี่ และขอบเกรนมีความหนาแน่นสูงขึ้นจึงมีการแพร่ของอะตอมผ่านขอบเกรนที่ไม่แข็งแรงนั้นเข้าเป็นเนื้อเดียวกัน จนกลายเป็นคอลัมนาร์ (Columnar) ต่อไป โดยปราศจากช่องว่างบริเวณที่ขอบ

3. บริเวณ 2 (Zone II) ที่บริเวณ 2 จะมีค่า T/T_m อยู่ระหว่าง 0.5 - 0.8 ที่ความดันขณะเคลือบประมาณ 1 mtorr จะเกิดการแพร่ที่ร้อยละระหว่างขอบเกรน จนเกิดเป็นโครงสร้างแบบคอลัมนาร์ที่เกิดจากการอุ่นหักนิในการเคลือบและอัตราการเคลือบเพิ่ม (มีผลต่อ Surface Mobility ของอะตอม) และขนาดของคอลัมนาร์จะเพิ่มขึ้นเรื่อยๆ เมื่ออุณหภูมิเพิ่มขึ้น เนื่องจากการแพร่ที่บริเวณรอยต่อระหว่างขอบคอลัมนาร์

4. บริเวณ 3 (Zone III) บริเวณนี้อุณหภูมิสูงสุดและค่า T/T_m อยู่ระหว่าง 0.8 - 1.0 ที่ความดันขณะเคลือบประมาณ 1 mtorr การแพร่จะมีค่าสูง และส่งผลต่อโครงสร้างสุดท้าย โครงสร้างที่ได้จะเป็นเกรนที่มีด้านท่ากันหมวด ขนาดของ คอลัมนาร์ จะมีขนาดใหญ่ และความหนาแน่นเพิ่มขึ้นอย่าง ไรก็ตามที่อุณหภูมิสูงอาจจะทำให้เกิดการจัดเรียงผลึกใหม่ (Recrystallization) เมื่อมากเพลิงงานสะสมของความเครียด (Stored Strain Energy) ที่เกิดขึ้นตั้งแต่ตอนเคลือบ เกรนที่เกิดขึ้นในขั้นตอนนี้จะเปลี่ยนจาก คอลัมนาร์ เป็นผลึกเดียว

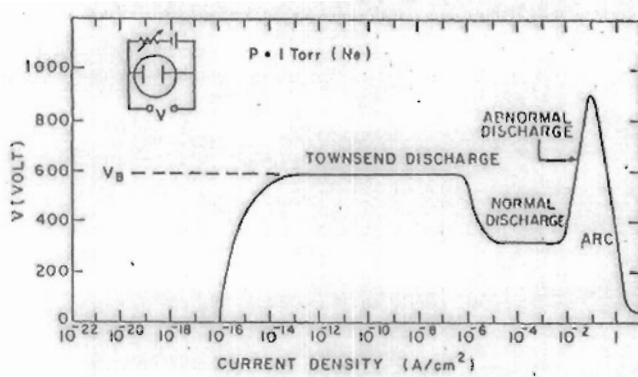


ภาพที่ 2-1 โครงสร้างของการเกิดฟล์มในรูปแบบต่างๆ (ชีวารัตน์ ม่วงพัฒน์, 2544)

กระบวนการโกล์วิดิษาร์จ

พิเชยฐ์ ลิ้มสุวรรณ และธนัศดา รัตนะ (2547) ได้อธิบายกระบวนการโกล์วิดิษาร์จไว้ดังนี้ เมื่อป้อนแรงดันไฟฟ้ากระแสตรงให้กับขั้วอิเล็กโทรด 2 ขั้ว ที่วางห่างกันเป็นระยะ d กายให้ความดันประมาณ 1.33 mbar ของแก๊สนีออน พบว่าช่วงแรกที่เพิ่มแรงดันทางไฟฟ้าจะมีกระแสไฟ ในวงจรน้อยมาก กระแสส่วนนี้เกิดจากการเคลื่อนที่ของอิเล็กตรอนและไอออนของแก๊สที่เกิดขึ้นตลอดเวลาในบรรยายกาศเนื่องจากการชนของรังสีคือสมิคและถูกเร่งภายใต้สนามไฟฟ้า กระแสนี้จะมีค่าค่อนข้างคงที่ เพราะอัตราการเกิดประจุขึ้นอยู่กับความเข้มของรังสี เมื่อหักไขไฟฟ้าเพิ่มขึ้นไปอีกค่าแรงดันไฟฟ้าทะลาย (Breakdown Voltage: VB) พลังงานของประจุที่ถูกเร่งภายใต้สนามไฟฟ้าจะมีค่าสูงขึ้นจนสามารถโน้มเลกูลของแก๊สทำให้เกิดการแตกตัวเป็นไอออนบวกและอิเล็กตรอนซึ่งถูกเร่งภายใต้สนามไฟฟ้าให้มีการชนและเกิดกราโนดอนทุติกูมี (Secondary Electron) รีบกระบวนการช่วงนี้ว่า หวานน์เซนต์ดิษาร์จ (Townsend Discharge)

เมื่อแรงดันไฟฟ้าเพิ่มขึ้นถึงแรงดันไฟฟ้าทะลายจะเกิดกระบวนการคลั่ง (Avalanche) ทำให้ปริมาณไอออนบวกจำนวนมากขึ้นและมีการปลดปล่อยอิเล็กตรอนทุติกูมีมากขึ้น ซึ่งจะถูกเร่งให้วิ่งเข้าหาอ่อนดบวนเดียวคันอิเล็กตรอนทุติกูมีนี้ก็จะมีการชนกับโน้มเลกูลของแก๊ส ทำให้เกิดไอออนมากขึ้น สุดท้ายไอออนบวกที่เพิ่มขึ้นมากขึ้นนี้ก็จะวิ่งเข้าหาค่าโอดแล้วเกิดการปลดปล่อยอิเล็กตรอนทุติกูมีเพิ่มขึ้นตามมาด้วย และชนโน้มเลกูลแก๊สทำให้เกิดผลิตไอออนเพิ่มขึ้น ทำให้กระแสเพิ่มขึ้นอย่างรวดเร็วนมีปริมาณไอออนมากเพียงพอที่จะผลิตอิเล็กตรอนได้ในจำนวนคงที่ ช่วงนี้ระบบสามารถรักษาสภาพดิษาร์จได้ด้วยตัวเองโดยไม่ต้องอาศัยแหล่งกำเนิดจากรังสี ภายนอกในการผลิตไอออน ช่วงนี้แก๊สภายในระบบจะเกิดการเรืองแสงขึ้น แรงดันไฟฟ้าระหว่างอิเล็กโทรดลดลงและกระแสไฟฟ้าเพิ่มขึ้นอย่างรวดเร็วเรียก การเรืองแสงปกติ หรือ นอร์มอลโกล์ว์ (Normal Glow) สภาวะนี้อัตราการปลดปล่อยอิเล็กตรอนทุติกูมีต่ออัตราการชนของไอออน มีค่าค่อนข้างต่ำ คือประมาณ 0.1 สำหรับเป้าค่าโอดที่ทำจากวัสดุทั่วไป โดยในช่วงเริ่มต้นของการเรืองแสงหรือโกล์ว์ การชนของไอออนบนค่าโอดจะปรับตัวเองให้เกิดขึ้นในบางบริเวณ แนวการเรืองแสงอาจเลื่อนไปมาได้และการชนของไอออนบนค่าโอด ไม่มีความสม่ำเสมอโดยจะมีความเข้มของบริเวณการเรืองแสงตามแนวของหรือมุมของค่าโอดที่มีสนามไฟฟ้าสูงเพื่อรักษาสภาพการโกล์ว์ (Self-Sustaining) บางบริเวณไว้ เมื่อกระแสไฟฟ้ามีค่าเพิ่มขึ้นตามแนวการชนของไอออนจะค่อยๆ ขยายตัว เพิ่มพื้นที่ครอบคลุมตลอดผิวค่าโอด จนกระทั่งมีค่าความหนาแน่นกระแสเท่ากับค่าลดด้วยมีค่าแรงดันไฟฟ้าระหว่างขั้วอิเล็กโทรดคงที่

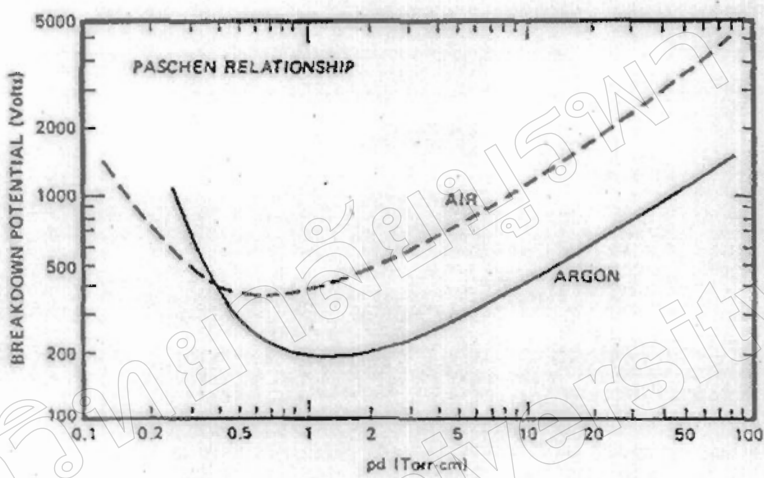


ภาพที่ 2-2 ความสัมพันธ์ของความหนาแน่นกระแสและแรงดันไฟฟ้าระหว่างข้ออิเล็กโทรดของกระบวนการเกิด ดีซี โกลว์ดิสชาร์จ ในหลอดสูญญากาศบรรจุแก๊สนีโอน
(Vossen & Kerns, 1978)

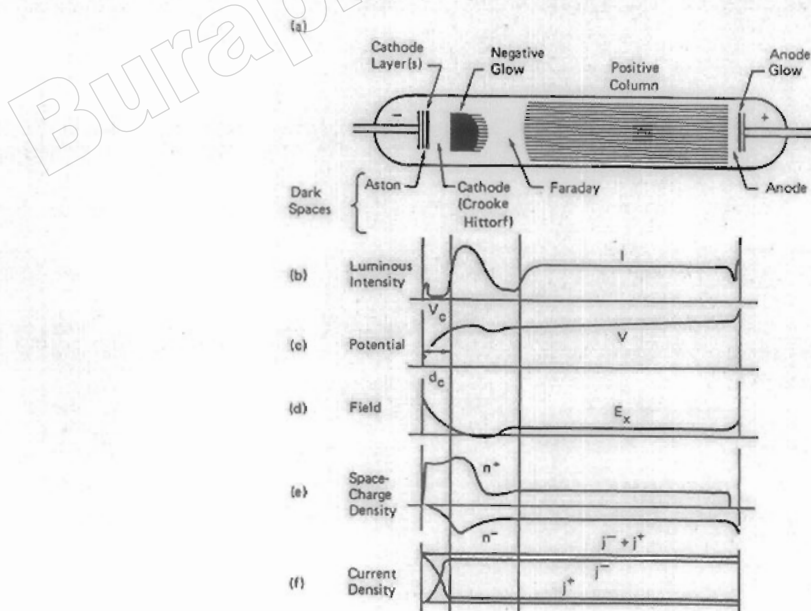
หลังจากการชนของไอนอนกรอบคุณพื้นที่ทั้งหมดของค่าトイคแล้ว การเพิ่มกำลังไฟฟ้าเข้าสู่ระบบจะทำให้ทั้งแรงดันไฟฟ้าและกระแสไฟฟ้ามีค่าเพิ่มขึ้น เรียกว่าช่วงการเรืองแสงผิดปกติ เป็นล่งแสงขึ้น หรือ มอบนอร์มอลโกลว์ (Abnormal Glow) เป็นช่วงที่ใช้กับระบบสปีตเตอร์วิง และ อีกหลายระบบของกระบวนการเก็บข้อมูล กอลว์ดิสชาร์จ ช่วงนี้ถ้าไม่ระบายความร้อนให้กับค่าトイ เมื่อความหนาแน่นของกระแสของค่าトイเพิ่มขึ้นสูงประมาณ 0.1 A/cm^2 ความร้อนที่เกิดจากการชนของไอนอนนากันพิเศษมากขึ้น จะเกิดการปล่อยอิเล็กตรอนแบบเทอร์มิอ่อนนิก (Thermionic Electron Emission) เสริมกับการปลดปล่อยอิเล็กตรอนทุติยกูนิและติดตามด้วยกระบวนการลดลงอีกครั้งหนึ่ง ทำให้ความนำไฟฟ้าของแก๊สในระบบสูงขึ้นอย่างรวดเร็ว แรงดันไฟฟ้าระหว่างข้ออิเล็กโทรดคงมากขณะที่กระแสไฟฟ้าเพิ่มสูงขึ้นและเปลี่ยนประกายข้าม การอาร์ค (Arc Discharge) ภาพที่ 2-2

ค่าแรงดันไฟฟ้าหลายในกระบวนการ กอลว์ดิสชาร์จ มีค่าเปลี่ยนแปลงไปกับระยะทาง d ระหว่างข้ออิเล็กโทรดและระยะปลดออกการชนระหว่างข้ออิเล็กตรอนทุติยกูนิ และไม่เกี่ยวกับแก๊ส (ระยะปลดออกการชนของข้ออิเล็กตรอนทุติยกูนินี้จะแปรผูกพันกับความดัน และมีค่ามากกว่าระยะปลดออกการชนของการชนกันเองระหว่างไม้เลกุลแก๊ส) ปกติอิเล็กตรอนทุติยกูนิแต่ละตัวมีความสามารถในการผลิตไอนอนนากได้ระหว่าง 10 ถึง 20 ตัว เพื่อให้เกิดกระบวนการลดลงในช่วงของนอร์มอลโกลว์ ถ้าความดันต่ำเกินไป (ระยะปลดออกการชนยาวขึ้น) หรือระยะทาง d มีค่าน้อยเกินไป อิเล็กตรอนทุติยกูนิจะไม่สามารถผลิตไอนอนได้มากพอก่อนการชนกับอากาศ ถ้าความดันสูงเกินไป (ระยะปลดออกการชนสั้นลง) หรือระยะ d มากเกินไป อิเล็กตรอนทุติยกูนิไม่สามารถเพิ่มพลังงานให้กับตัวเองในส่วนไฟฟ้าได้มากพอสำหรับใช้ในการไอนอนซึ่งเมื่อเกิดการชนพลังงาน

จะถูกถ่ายทอดให้ไม่ลากแก๊สในรูปการกระตุ้น (Excite) ขึ้นไปอยู่ในระดับพลังงานที่สูงขึ้นทำให้ไม่สามารถผลิตไออกอนบวกได้มากเพียงพอเช่นกัน ดังนั้นทั้งสองกรณีจะต้องใช้แรงดันทางไฟฟ้าที่หลายค่อนข้างสูงโดยมีจุดหนึ่งระหว่างนี้ที่ใช้ค่าแรงดันไฟฟ้าเท่ากับต่ำสุดตามกฎของปาชเชน (Pachen's law) ซึ่งแสดงให้เห็นความสัมพันธ์ระหว่างแรงดันไฟฟ้าเท่ากับและผลคูณระหว่างความดันแก๊ส (P) และระยะระหว่างอิเล็กโทรด (d) (ภาพที่ 2-3)



ภาพที่ 2-3 ความสัมพันธ์ระหว่างแรงดันไฟฟ้าเท่ากับและผลคูณระหว่างความดัน (P) และระยะระหว่างอิเล็กโทรด (d) (Bunshah, 1994)



ภาพที่ 2-4 โกลว์ดิชาร์จของหลอดคันเรื่องยาว 50 cm ที่ความดัน 1.33 mbar (Chapman, 1980)

ในระบบสปีดเตอริงทั่วไปสภาวะของการเกิด โกล์วิดิษาร์จะกระทำในช่วงที่ผลลัพธ์ของความดันกับระบบท่างระหว่างอิเล็กโทรค (Pxd) ซึ่งมีค่าต่ำกว่าจุดค่าสูดของกราฟมาก (เนื่องจาก การเคลือบฟิล์มที่ความดันต่ำทำให้ฟิล์มที่ได้มีคุณภาพดี การแทรกด้วยองแก๊สในเนื้อฟิล์มน้อยและ ลดปริมาณสารปลอมปนในฟิล์ม) จึงต้องการแรงดันไฟฟ้าเริ่มต้นค่อนข้างสูง บางครั้งจึงมี ความจำเป็นต้องใช้การเพิ่มความดันชั่วขณะเพื่อให้เริ่มการดิษาร์ได้ที่แรงดันไฟฟ้าต่ำ

ส่วนต่าง ๆ ของกระบวนการ โกล์วิดิษาร์ แสดงได้ดังภาพที่ 2-4 แต่ละส่วนอธิบาย ได้ดังนี้ ช่วงแรกคือช่วงมีดแอสตัน (Aston Dark Space) เป็นบริเวณที่อิเล็กตรอนถูกปล่อยจาก กาโทดด้วยพลังงานต่ำประมาณ 1 eV ซึ่งไม่สามารถไอออกในชั้นโมเลกุลแก๊สได้ ทำให้เกิดเป็นช่วง มีด ถัดจากผิวกาโทดบริเวณที่มีการเปล่งแสงออกมาริ้วความเร็วสูงมากเรียกว่า กาโทดโกล์ว (Cathode Glow) เป็นบริเวณที่ไอออกของแก๊สจาก การดิษาร์ และ ไอออกของอะตอนสารเคลือบ ซึ่งถูกผลิตขึ้นบริเวณกาโทด มีการรวมตัวเป็นกลุ่มก้อน อิเล็กตรอน ไกล์ผิวกาโทดด้วยกระบวนการ ต่าง ๆ ทำให้เกิดแสงซึ่งเป็นความถี่เฉพาะของสารที่ทำ ค่า โโทด และ ของแก๊สที่ใช้ เช่น ถ้า ค่า โโทด เป็น กอง แสง จะ มี สี เขียว ทองคำ มี สี ส้ม แดง แก๊ส อาร์กอน มี สี น้ำเงิน ฟ้า และ แก๊ส ใน ไตรเจน มี สี ม่วง เป็นต้น

ถัดจาก ค่า โโทด โกล์ว เรียกว่า ช่วงมีดครุหรือช่วงมีดค่า โโทด (Crook or Cathode Dark Space) พลังงานของอิเล็กตรอน มี ค่า สูง กว่า พลังงาน ในการ ไอออก ใน ชั้น โมเลกุล ของ แก๊ส เมื่อ ถูก รั่ง ผ่าน สาร น้ำ ไฟฟ้า ใน ระบบ ปลด ออก ร่อง ชั้น ทำ ให้ บริเวณ ปลด ออก ชั้น นั้น ไม่มี กระบวนการ กระตุ้น หรือ ไอออก ใน ชั้น แก๊ส ขึ้น การ ปลด ปล่อย แสง จึง ไม่ เกิด ใน ช่วง นี้ และ ถ้า ถูก รั่ง ผ่าน สาร น้ำ ไฟฟ้า ใน ระบบ ปลด ออก ไป อิเล็กตรอน ทุก ดิบ ภูมิ ใจ สูญเสีย พลังงาน ล่าวน ให้ ญี่ โอด บริการ ไอออก ใน ชั้น ไม่ เกิด ของ แก๊ส ไอออก บวก ที่ เกิด ขึ้น คือ ต้น ที่ ได้ ช้า กว่า อิเล็กตรอน มาก ทำ ให้ ระบบ ปลด ออก ชั้น ของ อิเล็กตรอน มี กระบวนการ สะสม ของ ไอออก บวก อยู่ มาก (Positive Space Charge) ศักดิ์ไฟฟ้า เกือบ ทั้ง หมุด กคร ร่อง บริเวณ ค่า โโทด ค่า ร์ค บี ปี ชี น ทำ ให้ สาร น้ำ ไฟฟ้า บริเวณ นี้ สูง ขึ้น มาก และ มาก เกิน พอ ในการ ร่าง อิเล็กตรอน ชั้น และ ไอออก ใน ชั้น โมเลกุล ของ แก๊ส ใน เวลา ถัด มา จึง ทำ ให้ ภายใน ห้อง การ เกิด นอร์ น อล โกล์ว แรง ดัน ไฟฟ้า ที่ ตก คร่อม ข้อ อิเล็กโทรค มี ค่า ลดลง ตาม กราฟ ดัง ภาพ ที่ 2-2 ส่วน อิเล็กตรอน เมื่อ เลย จา ก บริเวณ ที่ ผลิต ไอออก ของ ค่า ร์ค บี ปี ชี น แล้ว จะ มี พลังงาน ลด ต่ำลง มาก ดัง นั้น พลังงาน ที่ เหลือ จึง เพียง ใช้ ในการ กระตุ้น ไม่ เกิด ของ แก๊ส และ เกิด การ เรือง แสง ขึ้น แม้ อิเล็กตรอน จะ เป็น อนุภาค ที่ เคลื่อน ที่ ได้ เร็ว แต่ พลังงาน ที่ เหลือ น้อย มาก รวม ทั้ง ประจุ บวก และ ประจุ ลบ ของ ไอออก ทาง ด้าน ข้าง นี้ ใน บริเวณ ค่า ร์ค บี ปี ชี น ทำ ให้ อิเล็กตรอน ใช้ เวลา ในการ เคลื่อน ที่ ผ่าน ช่วง เรือง แสง นี้ นาน ขึ้น และ เกิด การ สะสม ประจุ ลบ บริเวณ นี้ จึง เรียกว่า เนกติฟ โกล์ว (Negative Glow)

จากนั้นอิเล็กตรอนจะมีพลังงานลดลงจนไม่สามารถกระตุนไมเดกูลแก๊สให้เปลี่ยนไปอยู่ในระดับพลังงานสูงได้ ทำให้เกิดบริเวณมืดอีกช่วงหนึ่งเรียกว่า ช่วงมืดฟาราเดย์ (Faraday Dark Space) ถัดจากช่วงนี้กระบวนการที่เกิดขึ้นคล้ายกับการคิดสาร์ของท่านเน้นด้วยมีปริมาณอิเล็กตรอนค่อนข้างคงที่ถูกเร่งภายใต้สถานภาพไฟฟ้าค่าต่ำ ๆ ทำให้อิเล็กตรอนถูกเร่งเข้าสู่อาโนด และมีพลังงานสูงพอสำหรับการกระตุนไมเดกูลของแก๊สหรือไออกซ์เจนซ์และการเรืองแสงขึ้นที่บริเวณนี้อีกรั้งหนึ่ง อิเล็กตรอนซึ่งเคลื่อนที่เร็วจะถูกความเข้าสู่อาโนดบังริดเริ่วทำให้พลาสมาบริเวณนี้มีประจุบวกสูงกว่าจึงเรียกว่า ลำเรืองแสงศักย์ไฟฟ้าบวก (Positive Glow Column)

เนื่องจากการรักษาสภาพโกลว์คิดสาร์ขึ้นกับปริมาณของอิเล็กตรอนที่ถูกผลิตขึ้นบริเวณค่าトイจากการชนของไออกอนที่ถูกผลิตบริเวณแรกที่ฟิกลัวร์ จึงพบว่าการเปลี่ยนแปลงตำแหน่งอาโนดเพียงเล็กน้อยจะไม่มีผลต่อกระบวนการโกลว์คิดสาร์ เมื่อเดือนอาโนดเข้าหากาトイ จนพื้นที่ว่างมีฟาราเดย์ เข้าสู่เนกานาที่ฟิกลัวร์นั้นถึงช่วงกาトイควรค่าสเปช ทำให้ปริมาณไออกอนที่ถูกผลิตจากอิเล็กตรอนทุกขุมนิปปิริมาณน้อยลง การรักษาสภาพโกลว์คิดสาร์ไว้ จำเป็นต้องใช้แรงดันไฟฟ้าที่สูงขึ้นซึ่งจะส่งผลถึงปริมาณไออกอนที่ถูกผลิตสูงขึ้นด้วย การโกลว์ในลักษณะนี้จะเรียกว่า ออปสตรัค โกลว์ (Obstructed Glow) และเมื่อเดือนอาโนดเข้าใกล้ค่าトイต่ำลงพื้นของ ค่าトイ ค่าร์สเปช ซึ่งมีระยะสั้นกว่าจะบล็อกการชนของอิเล็กตรอน จะไม่มีการผลิตไออกอนเกิดขึ้นและกระบวนการคิดสาร์จะไม่ได้ และถ้าหากมีสิ่งสกปรกบริเวณค่าトイ การอาร์คอาจเกิดขึ้นได้โดยไม่เกิดการโกลว์คิดสาร์ก็ได้

การเคลื่อนฟิล์มบางด้วยวิธีสปีตเตอริง

การเคลื่อนด้วยวิธีสปีตเตอริง เป็นกระบวนการพอกพูนของชั้นฟิล์มบางที่เกิดจากสารเคลื่อนที่ได้จากการกระบวนการสปีตเตอร์ การเคลื่อนด้วยวิธีนี้เกิดขึ้นเมื่ออะตอนของสารเคลื่อนที่ได้จากการกระบวนการสปีตเตอร์วิ่งเข้าชนวัสดุรองรับและมีการพอกพูนและトイเป็นฟิล์มบางในที่สุด กระบวนการสปีตเตอริงคือการทำให้อะตอนหลุดจากผิวของวัสดุโดยการชนของอนุภาคพลังงานสูง แล้วมีการແลกเปลี่ยนพลังงานและไม่แน่นตัมระหว่างอนุภาคที่วิ่งเข้าชนกับอะตอนที่ผิวสารเคลื่อน โดยอนุภาคที่วิ่งเข้าชนอาจเป็นกลางทางไฟฟ้าหรือมีประจุได้ และเนื่องจากไออกอนที่ได้จากกระบวนการสปีตเตอร์ในการเคลื่อนฟิล์มบางด้วยวิธีสปีตเตอริงจะเคลื่อนที่ด้วยความเร็วสูงกว่าวิธีการระเหยสารมาก ดังนั้นเมื่ออะตอนของสารเคลื่อนมาวิ่งเข้ากระทบแผ่นวัสดุรองรับก็จะฟังด้วยน้ำในเนื้อวัสดุที่ต้องการเคลื่อนมากกว่าวิธีระเหยสาร ดังนั้นการเคลื่อนด้วยวิธีสปีตเตอริงจะทำให้การยึดเกาะระหว่างสารเคลื่อนกับวัสดุรองรับดีกว่า (พิเชญ ลิ้มสุวรรณ และธนสัดา รัตนะ, 2547; Chapman, 1980)

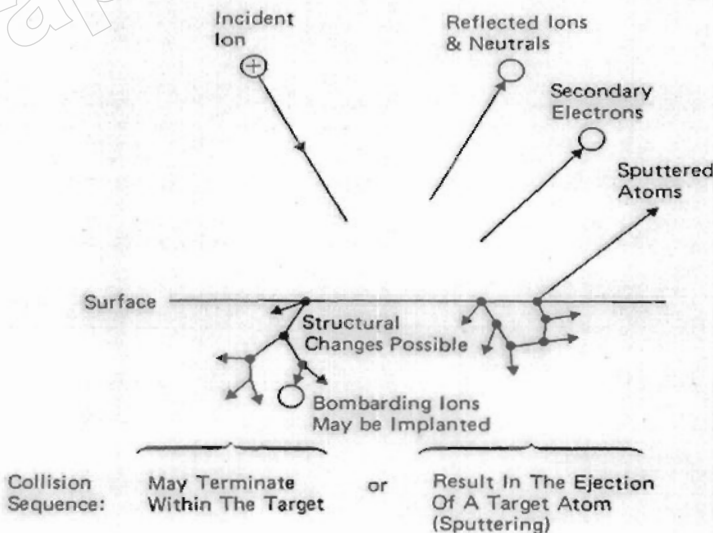
เมื่อผิวน้ำของวัสดุจะระคมยิงด้วยอนุภาคพลังงานสูงจะทำให้เกิดการสึกกร่อนและมีอนุภาคที่ผิวน้ำของวัสดุนั้นหลุดมา เนื่องจากการชนของอนุภาคพลังงานสูงกับอนุภาคที่ผิวน้ำ ปรากฏการณ์ที่อนุภาคผิวน้ำวัสดุหลุดออกมานี้เรียกว่า สปัตเตอร์ (Sputter) หรือสปัตเตอริ่ง (Sputtering) กระบวนการสปัตเตอริ่งนี้ถูกค้นพบครั้งแรกเมื่อ 100 กว่าปีที่ผ่านมาโดย grove ซึ่งในขณะนั้นสปัตเตอริ่งเป็นกระบวนการที่ทำให้เกิดความเสียหายกับค่าトイดและกริตในหลอดศีษหาร แต่ปัจจุบันมีการนำมาประยุกต์ใช้ขั้นตอนกว้างขวาง เช่น การทำความสะอาดผิวน้ำ (Surface Cleaning) การกัดเซาะ (Etching) การวิเคราะห์ชั้นผิวน้ำของวัสดุ (Surface Layer Analysis) และการเคลือบฟิล์มบาง

สำหรับแนวคิดเบื้องต้นเกี่ยวกับกระบวนการสปัตเตอริ่ง อธิบายได้ดังนี้

1. อันตรรศิยาระหว่าง ไอออนและผิวเป้าสารเคลือบ เมื่อวิ่งชนผิวน้ำวัสดุจะเกิดปรากฏการณ์ดังนี้

1.1 การสะท้อนที่ผิวน้ำของ ไอออน (Reflected Ion and Neutral) ไอออนอาจสะท้อนกลับจากผิวน้ำซึ่งส่วนใหญ่จะสะท้อนออกมายังรูปของอะตอมที่เป็นกลางทางไฟฟ้าอันเกิดจากการรวมตัวกับอิเล็กตรอนที่ผิวเป้าสารเคลือบ

1.2 การปลดปล่อยอิเล็กตรอนชุดที่สอง (Secondary Electron Emission) จากการชนของไอออนอาจทำให้เกิดการปลดปล่อยอิเล็กตรอนชุดที่สองจากเป้าสารเคลือบถ้าไอออนนั้นมีพลังงานสูงพอ



ภาพที่ 2-5 อันตรรศิยาระหว่าง ไอออนกับพื้นผิววัสดุ (Chapman, 1980)

1.3 การฝังตัวของไอออน (Ion Implantation) ไอออนที่วิ่งชนเป้าสารเคลือบบนอ่างฝังตัวลงในสารเคลือบ โดยความลึกของการฝังตัวจะแปรผันโดยตรงกับพลังงานไอออน ซึ่งมีค่า 10 อัองสตรอน/ พลังงานไอออน 1 keV สำหรับไอออนของแก๊สอาร์กอนที่ฝังตัวในทองแดง

1.4 การเปลี่ยนโครงสร้างของผิวสารเคลือบ (Target Material Structural Rearrangements) การชนของไอออนบนผิวสารเคลือบทาให้เกิดการเรียงตัวของอะตอมที่ผิวสารเคลือบใหม่และเกิดความบกพร่องของหลัก (Lattice Defect) โดยเรียกการจัดตัวใหม่ของโครงสร้างผิวนี้ว่า Altered Surface Layer

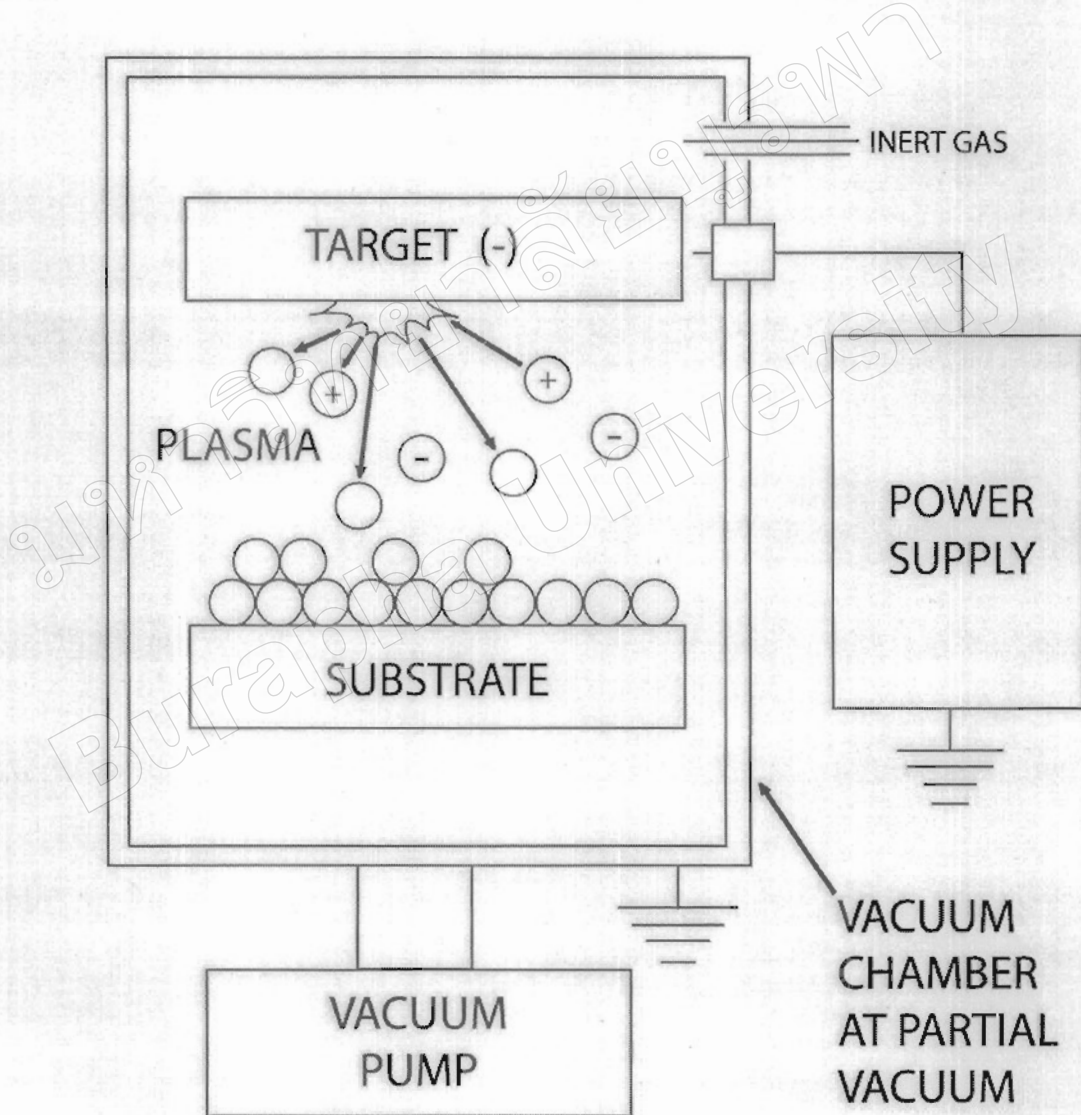
1.5 การสปัตเตอร์ (Sputter) การชนของไอออนอาจทำให้เกิดกระบวนการชนกันแบบต่อเนื่องระหว่างอะตอมของเป้าอันทำให้เกิดการปลดปล่อยอะตอมจากเป้าสารเคลือบซึ่งเรียกว่ากระบวนการสปัตเตอร์ริง

2. กระบวนการสปัตเตอร์ริง เป็นกระบวนการที่อะตอมผิวน้ำของวัสดุถูกทำให้หลุดออกมากด้วยการชนของอนุภาคพลังงานสูง โดยมีการแยกเปลี่ยนพลังงานและไมemenดัมระหว่างอนุภาคที่วิ่งเข้าชนกับอะตอมที่ผิวสารเคลือบกล่าว กระบวนการนี้อนุภาคที่วิ่งเข้าชนอาจเป็นกลางไฟฟ้าหรือมีประจุก็ได้ดังนั้นสิ่งที่จำเป็นในกระบวนการสปัตเตอร์ริงคือ

2.1 เป้าสารเคลือบ ทำหน้าที่เป็นเป้าให้อนุภาคพลังงานสูงวิ่งเข้าชนจนมีการปลดปล่อยอะตอมของสารเคลือบลงเคลือบบนวัสดุรองรับ

2.2 อนุภาคพลังงานสูง ซึ่งวิ่งชนเป้าสารเคลือบ แล้วทำให้อะตอมของเป้าสารเคลือบทหลุดออกมา ปกติอนุภาคพลังงานสูงนี้อาจเป็นกลางไฟฟ้า เช่น นิวตรอน หรืออะตอมของธาตุต่างๆ แต่การทำให้อนุภาคที่เป็นกลางมีพลังงานสูงเกิน 10 eV เพื่อใช้ในการสปัตเตอร์ริงทำได้ก่อนข้างยาก วิธีการหนึ่งที่นิยมคือการเร่งอนุภาคประจุภายในไนโตรเจนไนท์ ซึ่งสามารถควบคุมระดับพลังงานไอออนตามต้องการ อิเล็กตรอนเป็นอนุภาคที่มีประจุนิดหนึ่งที่ผลิตได้ง่ายและสามารถเร่งให้มีพลังงานสูงภายในไนโตรเจนไนท์ได้ แต่อิเล็กตรอนมีมวลน้อยกว่าอะตอมของสารเคลือบมากทำให้การถ่ายเทพลังงานและไมemenดัมต่ออะตอมสารเคลือบนั้นเป็นไปได้อย่างไม่มีประสิทธิภาพและไม่สามารถทำให้กระบวนการสปัตเตอร์ริงเกิดขึ้นได้ ตามทฤษฎีทางฟิสิกส์การชนกันระหว่าง 2 อนุภาคที่มีการส่งถ่ายพลังงานและไมemenดัมคือสูตรจะเกิดขึ้นเมื่อมวลของอนุภาคที่สองมีค่าเท่ากันดังนี้ เราจึงเลือกการเร่งไอออนของก๊อกในสนามไฟฟ้าเป็นอนุภาควิ่งชนเป้าสารเคลือบซึ่งให้อัตราการปลดปล่อยเป้าสารเคลือบสูงเพียงพอ กับความต้องการ

2.3 การผลิตอนุภาคพลังงานสูง อนุภาคพลังงานสูงในระบบสปีตเตอริงนี้จะต้องถูกผลิตขึ้นอย่างต่อเนื่อง เพื่อให้กระบวนการเคลือบสารเกิดขึ้นได้อย่างต่อเนื่องจนได้ความหนาพิลั่นบางตามต้องการ ทั้งนี้สามารถทำได้หลายวิธี เช่นการใช้ลำอนุภาคจากปืนไอโอดนที่มีปริมาณการผลิตไอดอนในอัตราสูงหรือผลิตจากกระบวนการโกลว์ดิ沙ร์จ เมื่อจากปืนไอดอนมีราคาค่อนข้างสูงและให้ไอดอนในพื้นที่แคบ กระบวนการสปีตเตอริงทั่วไปในระดับอุตสาหกรรมจึงนิยมใช้กระบวนการโกลว์ดิ沙ร์จในการผลิตอนุภาคพลังงานสูง



ภาพที่ 2-6 ลักษณะของเครื่องเคลือบสุญญากาศด้วยวิธีสปีตเตอริง

3. ค่าyieldของสปัตเตอริ่ง (Sputtering Yield: S) คือ ค่าเฉลี่ยปริมาณการหลุดของอะตอม เป้าสารเคลื่อนต่อปริมาณการชนของไอออน 1 อนุภาค มีหน่วยเป็น อะตอมต่อไอออน โดยการวัดค่าyieldนี้ สามารถทำได้โดยการหาน้ำหนักหรือความหนาที่คงลงของเป้าสารเคลื่อน หรือหาได้จากการวัดค่าyieldที่ถูกสปัตเตอร์ หรืออาจหาได้จากการตรวจวัดสปัตเตอร์อะตอม (Sputter Atom) ขณะที่บังฟุ้งกระจาย (พิเชญ ลิ่มสุวรรณ และธนสกุล รัตนะ, 2547) ค่าyieldของกระบวนการสปัตเตอริ่งจะเปลี่ยนไปตามภาวะต่าง ๆ ดังนี้

3.1 เปลี่ยนแปลงความพลังงาน ไอออน การชนของอนุภาค 2 อนุภาคในแนวเดียวกัน การถ่ายเทพลังงานระหว่างอนุภาคจะเป็นไปตามสมการที่ 2-1

$$\Delta E = \frac{4mM}{(m+M)^2} \quad (2-1)$$

เมื่อ ΔE คือพลังงานที่ถ่ายเทระหว่างอนุภาค
 m คือมวลอะตอมที่ถูกชน
 M คือมวลของอะตอมที่ถูกเข้าชน

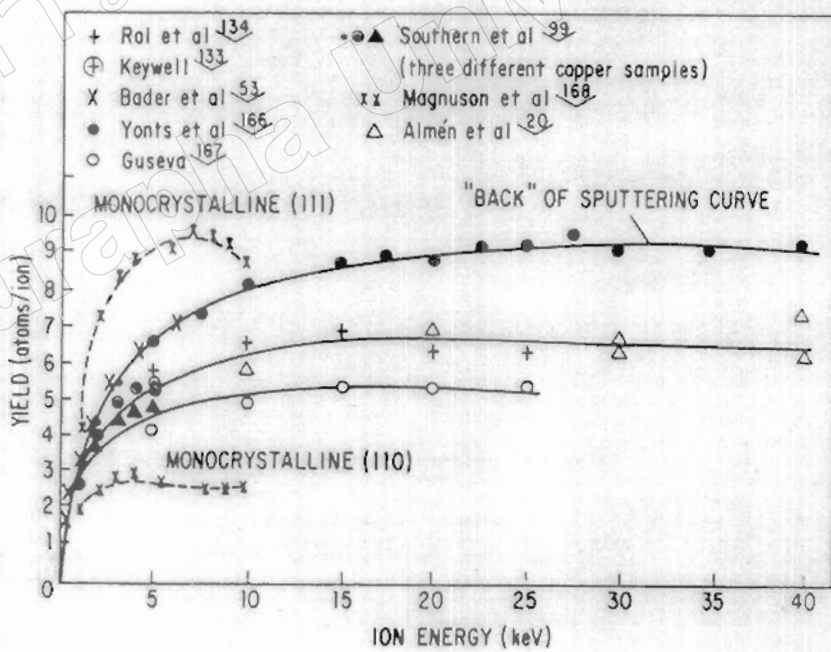
เมื่อพลังงาน ไอออนมีค่าต่ำมากค่าyieldจากกระบวนการสปัตเตอริ่ง จะมีค่าเป็นศูนย์ เนื่องจากไม่สามารถเอาชนะแรงขึ้นค่ากระแสระหว่างอะตอมบนเป้าสารเคลื่อนได้ เมื่อไอออนมีพลังงาน สูงขึ้นเกินกว่า 4 eV (คือค่าพลังงานเฉลี่ยที่ใช้ในการระเหิด 1 อะตอม จากผิวสารเคลื่อน) ผ้าพลังงาน ไอออนสูงมากพอในการทำให้เกิดกระบวนการชนอย่างต่อเนื่องระหว่างอะตอมสารเคลื่อนและเริ่มมีการปลดปล่อยอะตอมสารเคลื่อน เริ่กพลังงานค่านี้ว่า พลังงานขีดเริ่ม (Threshold Energies) ซึ่งเปลี่ยนแปลงไประหว่างคุณภาพของอนุภาค (ตารางที่ 2-1)

เมื่อ ไอออนชนมีพลังงานสูงขึ้นขึ้นจะเพิ่มขึ้นอย่างรวดเร็วแบบเอ็กซ์โพเนนเชียล ในช่วงแรกและเปลี่ยนเป็นการเพิ่มแบบเชิงเส้นจากนั้นจึงมีการอิ่มตัว (Saturation) ของค่าyield เมื่อพลังงาน ไอออนมีค่าสูงมาก ทั้งนี้เนื่องจาก ไอออนพลังงานสูงมีโอกาสในการฝังตัวบนผิวเป้าสารเคลื่อนสูงขึ้นทำให้ค่าyieldของสารเคลื่อนมีค่าคงที่ จากนั้นจะมีค่าลดลงเล็กน้อยเมื่อเพิ่มพลังงาน ไอออนให้สูงมากขึ้น ดังแสดงในภาพที่ 2-7

ตารางที่ 2-1 พลังงานขีดเริมของเป้าสารเคลื่อนชนิดต่าง ๆ (Maisel & Glang, 1970)

	Ne	Ar	Kr	Xe	Hg		Ne	Ar	Kr	Xe	Hg
Be	12	15	15	15	-	Mo	24	24	28	27	32
Al	13	13	15	18	18	Rh	25	24	25	25	-
Ti	22	20	17	18	25	Pd	20	20	20	15	20
C	21	23	25	28	25	Ag	12	15	15	17	-
Cr	22	22	18	20	23	Ta	25	26	30	30	30
Fe	22	20	25	23	25	W	35	33	30	30	30
Co	20	25	22	22	-	Re	35	35	25	30	35
Ni	23	21	25	20	-	Pt	27	25	22	22	25
Cu	17	17	16	15	20	Au	20	20	20	18	-
Ge	223	25	22	18	25	Th	20	24	25	25	-
Zr	23	22	18	25	30	U	20	23	25	22	27
Nb	27	25	26	32	-						

Boldface values are those for which the energy-transfer factor $4m_1 m_2 / (m_1 + m_2)^2$ is 0.9 or higher



ภาพที่ 2-7 ขีดคืนของทองแดงที่ถูกชนด้วยไอน้ำจากแก๊สสารก่อนที่พลังงานต่าง ๆ

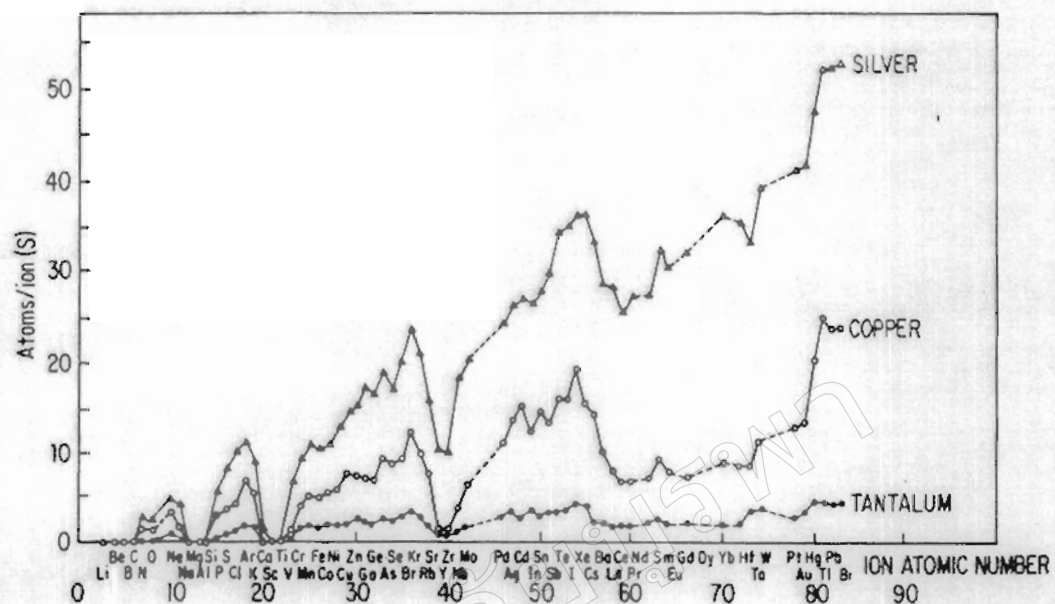
(Maisel & Glang, 1970)

3.2 เปลี่ยนแปลงตามระนาบผลึกของผิวเป้าสารเคลือบ จากการทดลองพบว่าเมื่อใช้เป้าสารเคลือบที่เป็นผลึกเดียวค่าขีดคัดจะมีค่ามากที่สุดเมื่อไอออนชนเป้าในแนวระนาบที่มีอะตอมหนาแน่นที่สุด และมีค่าต่ำในระนาบที่มีอะตอมเบาบาง ในทางแองซ์มิ่งโครงสร้างผลึกแบบ FCC (Face Centered Cubic) พนว่าการชนบนระนาบ (111) ซึ่งมีความหนาแน่นอะตอมสูงสุด ขีดคัดจะมีค่าสูงสุดเมื่อใช้ค่าพลังงานไอออนในการชนค่าเดียวกัน ส่วนระนาบที่มีความหนาแน่นอะตอมต่ำไอออนมีแนวโน้มวิ่งผ่านในเป้าสารเคลือบมากขึ้น

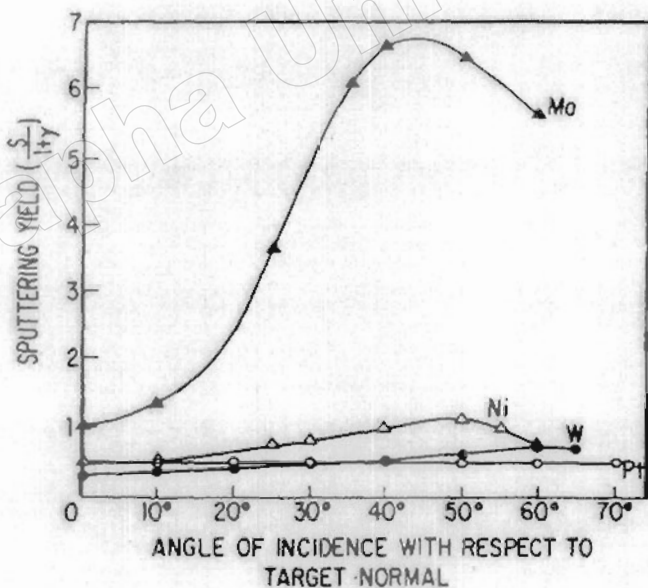
3.3 เปลี่ยนแปลงตามชนิดของไอออนที่ชนเป้าสารเคลือบ ค่าขีดคัดจากเป้าสารเคลือบชนิดเดียวกัน เมื่อใช้ไอออนค่างชนิดกันวิ่งชนจะมีค่าแตกต่างกันออกไป เมื่อสมการที่ 1 แสดงให้เห็นว่าการถ่ายเทพลังงานระหว่าง 2 อนุภาคที่ชนกันจะมีค่าสูงสุดเมื่อมวลของอะตอมทั้งสองมีค่าเท่ากัน แต่อะตอมบนเป้าสารเคลือบยึดเกาะกับอะตอมข้างเคียงจึงทำตัวเสมือนมีมวลยังคงสูงกว่ามวลของอะตอมเดียวจึงพบว่าขีดคัดมีค่าสูงขึ้นเมื่อใช้ไอออนที่มีมวลสูงกว่ามวลของอะตอมเป้าสารเคลือบ ภาพที่ 2-8 แสดงการเปลี่ยนแปลงของค่าขีดคัดพนว่ามีค่าสูงสุดเป็นช่วงๆ ณ ตำแหน่งที่ใช้ไอออนจากแก๊สเชื้อเพลิง คือแก๊ส Ne , Ar , Kr , และ Xe ซึ่งเป็นอะตอมที่มีอิเล็กตรอนครบ 8 ในวงนอกสุด สำหรับของการเกิดขุจลสูงสุดของค่าขีดคัดเป็นช่วงๆ นี้ยังไม่มีคำอธิบายที่ชัดเจน

3.4 เปลี่ยนแปลงตามมุมตkehnhของไอออนบนเป้าสารเคลือบ จากการทดลองพบว่าเมื่อเพิ่มมุมเอียงของการชนจากไอออนบนเป้ามากขึ้นขีดคัดจะมีค่าสูงขึ้นตามมุมที่เอียงนี้ออกจากสารเคลือบที่หลุดออกมาระบบเปลี่ยนจาก การกระเจิงกลับ (Back Scattering) เป็นการกระเจิงไปข้างหน้า (Forward Scattering) ซึ่งเป็นกระบวนการที่ต้องการจำนวนครั้งของการชนระหว่างอะตอมน้อยกว่าทำให้ขีดคัดสูงขึ้นจนถึงจุดหนึ่งซึ่งมีค่าสูงสุดท่องศาการเอียงมากกว่า 45° จากนั้นขีดคัดจะมีค่าลดลงเมื่อมุมสูงขึ้น และเป็นศูนย์เมื่อมุมเอียงมีค่า 90° โดยขณะนั้นพื้นที่การชนเมื่อมองจากไอออนมีค่าเป็นศูนย์ ภาพที่ 2-9

4. ความเร็วและพลังงานของอะตอมที่ถูกสปีดเตอร์หลุดออกจากผิวน้ำเป้าสารเคลือบ ด้วยวิธีการสปีดเตอร์มีพลังงานจนค่อนข้างสูงและมากกว่าพลังงานของอะตอมที่หลุดออกด้วยวิธีการระเหยสารประมาณ 50 - 100 เท่า อะตอมมีการกระชาขพลังงานแบบ Maxwellian โดยที่พลังงานส่วนใหญ่มีค่าต่ำกว่า 10 eV และอีกส่วนหนึ่งมีพลังงานระหว่าง 10 - 40 eV ถ้าไอออนที่ใช้มีพลังงานสูงขึ้น พลังงานเฉลี่ยของอะตอมจากสปีดเตอร์จะมีค่าสูงขึ้นจนเมื่อไอออนที่วิ่งชนมีพลังงานเกิน 1 keV พลังงานเฉลี่ยของอะตอมจากการสปีดเตอร์จะไม่เพิ่มขึ้นและเป้าที่มีค่าขีดคัดสูงมีแนวโน้มทำให้พลังงานเฉลี่ยของอะตอมที่หลุดออกมานมีค่าต่ำ เนื่องจากไอออนที่วิ่งชนเมื่อเฉลี่ยพลังงานให้กับอะตอมที่หลุดออกมากจำนวนมาก อะตอมแต่ละตัวจะรับพลังงานเฉลี่ยจากไอออนได้น้อยลง



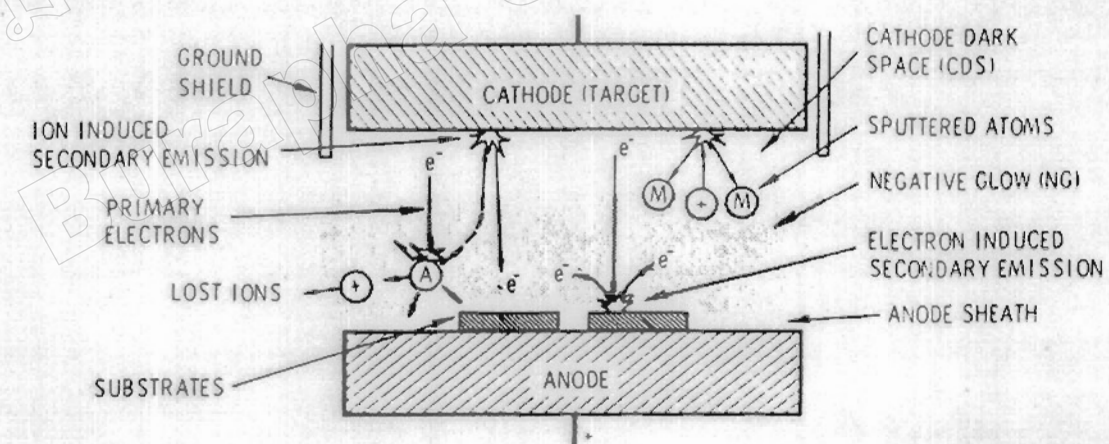
ภาพที่ 2-8 การเปลี่ยนแปลงค่าอัลตร้าบีลด์ของเป้าทองแดง (Cu) , เงิน (Ag) และเทนทาลัม (Ta) เมื่อใช้ ไอโอนพลังงาน 45 keV จากธาตุที่มีเลขอะตอมค่าต่างๆ (Maissel & Glang, 1970)



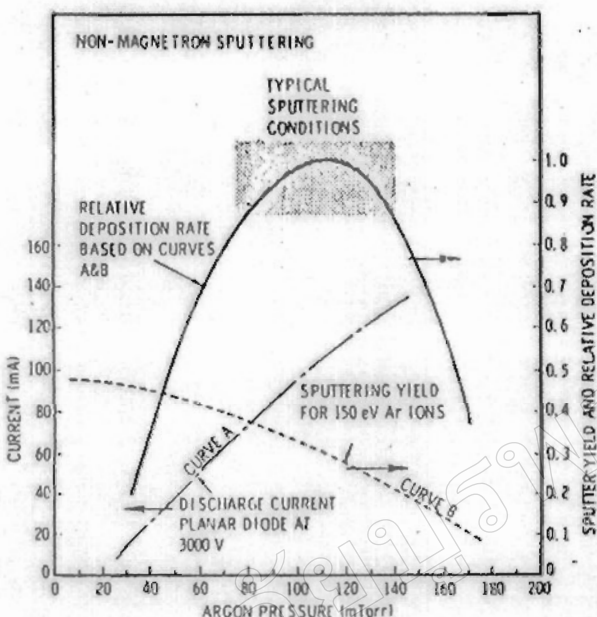
ภาพที่ 2-9 การเปลี่ยนแปลงของอัลตร้าบีลด์เมื่อใช้ไอโอนของprotoพลังงาน 200 eV ชนเป้านิกเกิล (Ni), ไมลิบดินัม (Mo), ทังสเทน (W) และทองคำขาว (Pt) ที่มุ่งการต่อกระแทบค่าต่าง ๆ (วัดเทียบกับแนวชนตั้งจากบนเป้า) (Maissel & Glang, 1970)

ระบบเคลื่อนแบบดีซีสปัตเตอริ่ง

ภาพที่ 2-10 แสดงระบบเคลื่อนแบบดีซีสปัตเตอริ่ง อย่างง่ายที่สุด (พิเชยู ลิมสุวรรณ และชนสัดา รัตนะ, 2547; Bunshah, 1982; Smith, 1995) ซึ่งประกอบด้วยคากาโทด คือ แผ่นเป้าสารเคลื่อนและอาโนด คือ ที่วางวัสดุรองรับหรือชิ้นงานที่ต้องการเคลื่อน ปกติระยะห่างคากาโทดและวัสดุรองรับจะอยู่ระหว่าง 4 - 10 cm เพื่อป้องกันการสูญเสียของตอนสารเคลื่อนที่ผ่านผังของกากาโทดและสุญญากาศ โดยทั่วไประดับค่าคسطป์ อยู่ระหว่าง 1 - 4 cm โดยอาโนดจะอยู่บริเวณมากที่ฟิกล์ส่วนอุปกรณ์ทำงานจะอยู่ในช่วงแอนโนร์มอล โกล์วิดิชาร์จ แก๊สที่ใช้เป็นแก๊สเพื่อยืดซึ่งให้ขีดสูงและไม่ทำปฏิกิริยากับสารเคลื่อน (ปกติใช้แก๊สราร์กอน) ขณะเกิดโกล์วิดิชาร์จที่ความดันค่านี้จะกระวนการไอออนในชั้นจารกษาสภาพโกล์วิดิชาร์จไว้ตราบที่ระดับค่าคسطป์ไม่นักกว่าระยะห่างคากาโทดและอาโนด เมื่อความดันลดลงหรือแรงดันไฟฟ้าระหว่างอิเล็กโทรดสูงขึ้นระบบปลดการชนของอิเล็กตรอนจะสูงขึ้น ทำให้ระดับค่าคسطป์ขยับตัวออกและแหล่งผลิตไอออนในระบบมีปริมาณน้อยลงและลดลงและลดลงที่ความดันต่ำกว่า 10^{-2} mbar ระดับค่าคسطป์จะมากกว่าระยะห่างอิเล็กโทรด และกระแสไฟฟ้าลดลงสู่ศูนย์ทำให้กระบวนการผลิตไอออนสิ้นสุดลงและไม่มีอะตอมหลุดออกจากเป้าสารเคลื่อนเนื่องจากการสปัตเตอร์อิเล็กตรอน



ภาพที่ 2-10 ระบบเคลื่อนแบบ ดีซี สปัตเตอริ่ง (Bunshah, 1994)



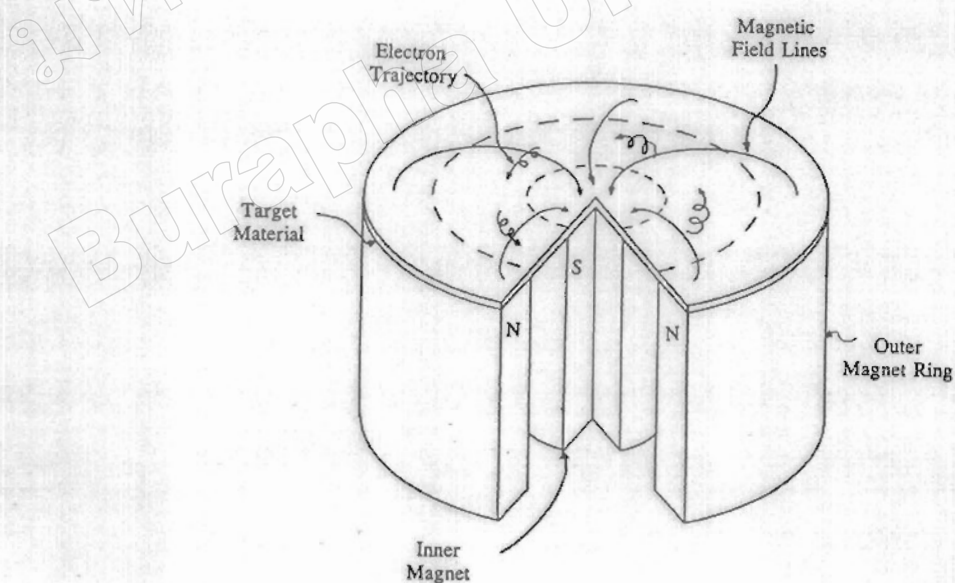
ภาพที่ 2-11 ผลของการดันในระบบที่มีผลต่ออัตราเคลื่อน ค่าขีดคัดและกระแสไฟฟ้าในระบบสปัตเตอร์ของนิกเกิลที่ใช้แรงดันไฟฟ้า 3,000 V ระหว่างขั้วอิเล็กโทรดห่างกัน 4.5 cm (Vossen & Kerns, 1978)

ขณะที่ความดันสูงขึ้นจะลดลง บริเวณการผลิตไอออนมีปริมาตรสูงขึ้นกระแสไฟฟ้าที่ไหลในวงจรเพิ่มขึ้นและกระบวนการสปัตเตอร์เกิดขึ้นในอัตราสูงตามความดัน ดังภาพที่ 2-11 เส้นกราฟ A ขณะที่ความดันภายในระบบสูงขึ้นจะลดลงโดยการชนระหว่างไม้เล็กน้อยเกิดค่าลดลง อะตอนสารเคลื่อนที่หลุดออกจากเปลือกส่งผ่านเคลื่อนบนวัสดุรองรับได้จากจากการชนกับไม้เล็กน้อยแก๊สและสะท้อนกลับสู่เปลือกเคลื่อนหรือสูญเสียสู่ผนังภาชนะสูญญากาศทำให้ค่าของขีดคัดจากการสปัตเตอร์มีค่าลดลง แต่เมื่อความดันสูงขึ้น ดังภาพที่ 2-11 เส้นกราฟ B ผลกระทบระหว่างขีดคัดและกระแสไอออนจะทำให้อัตราการเคลื่อนที่ค่าสูงสุดที่ความดันค่านึงทั้งนี้พบว่าการสปัตเตอร์นิกเกิลเมื่อใช้แรงดันไฟฟ้า 3,000 V ระหว่างขั้วอิเล็กโทรดห่างกัน 4.5 cm ในแก๊สราร์กอน การเคลื่อนจะหยุดที่ความดันมีค่าต่ำกว่า 2.6×10^{-4} mbar และที่ความดันสูงกว่า 1.6×10^{-5} mbar โดยอัตราเคลื่อนจะมีค่าสูงสุดและลดลงเมื่อความดันสูงเกินค่านี้ ดังนั้นบริเวณที่เหมาะสมกับกระบวนการสปัตเตอร์คือบริเวณที่ให้อัตราเคลื่อนสูงและประสิทธิภาพดีที่สุด จากภาพที่ 2-4 พบว่าความดันที่เหมาะสมสำหรับการเคลื่อนคือ 1.0×10^{-5} mbar ความหนาแน่นกระแสประมาณ 1.0 mA/cm^2 คืออัตราเคลื่อน $0.036 \mu\text{m/min}$ ซึ่งเป็นอัตราเคลื่อนที่ค่อนข้างต่ำในขณะที่ใช้แรงดันไฟฟ้าค่อนข้างสูง (พิเชยฐ์ ลิ้มสุวรรณ และชนันดา รัตนะ, 2547)

ระบบเคลื่อนแบบดีซีแมกนีตرونสปีคเตอริง

อัตราการเกิดสปีคเตอริงนั้นขึ้นกับผลคูณระหว่างยิลเดร์และปริมาณไออกอนที่วิ่งชนเป้าสารเคลื่อน ดังนั้นการเพิ่มอัตราการสปีคเตอร์นอกจากจะทำได้โดยการเพิ่มยิลเดร์แล้วซึ่งทำได้โดยการเพิ่มปริมาณไออกอนที่วิ่งเข้าชนเป้าสารเคลื่อน ซึ่งในระบบดีซีสปีคเตอริงปกติ ทำได้เพียงการเพิ่มแรงดันไฟฟ้าระหว่างอิเล็กโทรด หรือเพิ่มความดัน ซึ่งจะมีจุดจำกัดสูงสุดที่ ความหนาแน่นกระแสประมาณ 1 mA/cm^2 และความดันประมาณ $1.33 \times 10^{-5} \text{ mbar}$ นอกจากนี้ยังพบว่าในระบบดีซี สปีคเตอริง ทั่วไปจะต้องของแก๊สที่เกิดการไออกอนซึ่งมีค่าน้อยกว่า 1% เมื่อความดันสูงขึ้น ปริมาณแก๊สที่แทรกตัวในพิล์มบางที่ได้มีค่าสูงด้วย (พิเชญฐ์ ลิ้มสุวรรณและชนัสตา รัตนะ, 2547)

ต่อมาเมื่อการพัฒนาระบนใหม่เรียกว่า ระบบดีซีแมกนีตرونสปีคเตอริง (พิเชญฐ์ ลิ้มสุวรรณ และชนัสตา รัตนะ, 2547; Bunshan, 1994; Smith, 1995) ซึ่งเป็นการใช้สารแม่เหล็กช่วย โดยนำสารแม่เหล็กให้มีพิษนานกับผิวน้ำเป้าสารเคลื่อนและมีพิศตั้งจากกับสารในไฟฟ้าซึ่งช่วยเพิ่มระยะทางเดินของอิเล็กตรอนให้ยาวขึ้น โดยจำนวนของสารแม่เหล็กจะทำให้อิเล็กตรอนเคลื่อนที่เป็นทางໄodic (ภาพที่ 2-12) ทำให้การไออกอนเนื่องจากการชนระหว่างอิเล็กตรอนกับอะตอมแก๊สເຊື່ອມีค่าสูงขึ้นซึ่งทำให้อัตราการสปีคเตอร์สูงขึ้นด้วย



ภาพที่ 2-12 การเคลื่อนที่ของอนุภาคอิเล็กตรอนในสารแม่เหล็ก (Rickerby & Matthews, 1991)

ทั้งนี้จากการศึกษาการเคลื่อนที่ของอิเล็กตรอนในสนามแม่เหล็ก พบว่าถ้าอิเล็กตรอนมีพิษทางการเคลื่อนที่ตั้งจากกับสนามแม่เหล็ก อิทธิพลของสนามแม่เหล็กทำให้อนุภาคประจุนั้นเคลื่อนที่ในแนววงกลม (ภาพที่ 2-13 (a)) ด้วยรัศมี

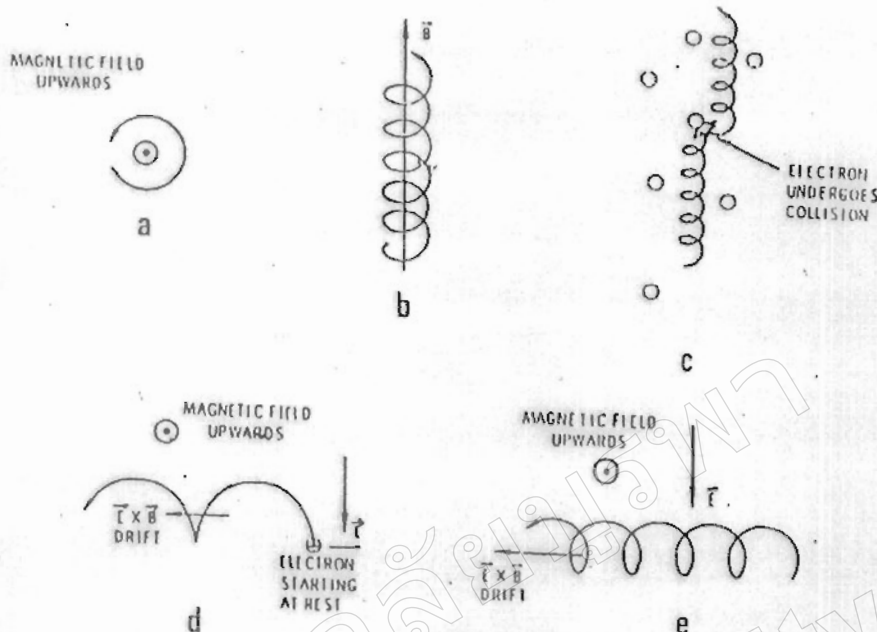
$$r = \frac{3.37 \sqrt{W}}{B} \quad (2-2)$$

เมื่อ	W	คือพลังงานของอิเล็กตรอนในหน่วย eV
	B	คือความเข้มสนามแม่เหล็กในหน่วย gauss หน่วยด้วยความถี่ใช้โคลต์рон
	$v = 2.8 \times 10^6 \text{ Hz}$	

ถ้าพลังงานเฉลี่ยของอิเล็กตรอน ในแนวตั้งจากกับสนามแม่เหล็กมีค่า 10 eV และสนามแม่เหล็กมีค่าความเข้ม 100 gauss รัศมนีการหมุนมีค่าเท่ากับ 0.1 cm ด้วยความถี่การหมุนเท่ากับ $2.8 \times 10^8 \text{ Hz}$ ภาพที่ 2-13 (b) แสดงอิเล็กตรอนมีความเร็วส่วนหนึ่งในแนวบนกับสนามแม่เหล็ก อิเล็กตรอนจะเคลื่อนที่หมุน围绕แนวสนามแม่เหล็กด้วยจำนวนเด่นเร่งคงที่ค่านี้จะห่างนี้ถ้าอิเล็กตรอนชนกับอะตอมแก๊ส ภาพที่ 2-13 (c) แนวการหมุน围绕สนามแม่เหล็กเปลี่ยนไปถ้าอิเล็กตรอนเคลื่อนที่ภายในสนามแม่เหล็กและสนามไฟฟ้าซึ่งมีพิษทางตั้งฉากกัน จำนวนของสนามที่สองนอกจากจะทำให้อิเล็กตรอนเคลื่อนที่ในแนวโถงแล้วยังสามารถทำให้เกิดการเคลื่อนที่ในแนวตั้งกับสนามแม่เหล็กและสนามไฟฟ้าเรียกว่าการเคลื่อนที่แบบคลอยเดือน (Drift motion) มีค่าเท่ากับ

$$V_E = \frac{10^8 E}{B} \quad (2-3)$$

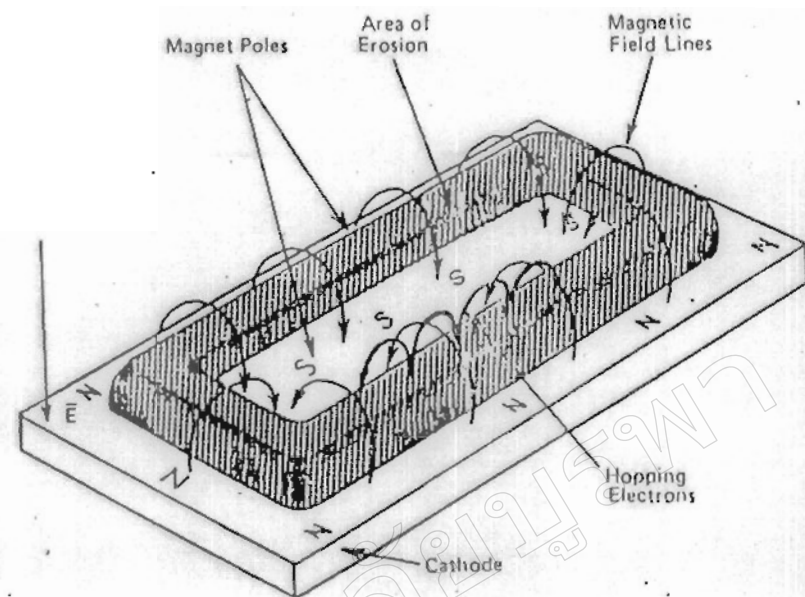
เมื่อ	E	คือสนามไฟฟ้านวخเป็น V/cm
	B	คือความเข้มสนามแม่เหล็กในหน่วย gauss



ภาพที่ 2-13 การเคลื่อนที่ของอนุภาคในสนามต่าง ๆ โดยที่ a, b, c เป็นการเคลื่อนที่ของอนุภาคประจุในสนามแม่เหล็กอย่างเดียวส่วน d และ e เป็นการเคลื่อนที่ของอนุภาคประจุในสนามแม่เหล็กและสนามไฟฟ้าร่วมกันในลักษณะต่าง ๆ (Bunshah, 1994)

กรณีสนามไฟฟ้าบริเวณค่าสเปซมีค่าประมาณ $1,000 \text{ V/cm}$ และสนามแม่เหล็กมีค่าประมาณ 100 gauss จะให้ค่าความเร็วอยเดือน (Drift Velocity) เท่ากับ 107 m/s ซึ่งเป็นค่าที่ค่อนข้างสูงกรณีพลังงานเริ่มต้นของอิเล็กตรอนมีค่าน้อยเมื่อเทียบกับพลังงานที่ได้รับจากสนามไฟฟ้า การเคลื่อนที่ของอิเล็กตรอนเป็นรูป Cycloid ดังภาพที่ 2-13 (d) ถ้าอิเล็กตรอนนี้พลังงานเริ่มต้นสูงกว่าพลังงานที่ได้รับจากสนามไฟฟ้า การเคลื่อนที่แบบคลอยเดือน จะอยู่ในแนววงกลมซ้อนกันดังแสดงในภาพที่ 2-13 (e) พฤติกรรมที่ปรากฏต่ออิเล็กตรอนนี้จะเด่นชัดมากถึงแม้จะใช้สนามแม่เหล็กมีค่าน้อย ๆ ระหว่าง $50 - 500 \text{ gauss}$ แต่มีผลในการเมี่ยงเบนแนวทางเดินของไออ่อน (ซึ่งมีมวลสูงกว่าอิเล็กตรอนมาก) อย่างไม่เด่นชัด

ระบบสปัตเตอริ่งที่ใช้สารแม่เหล็กช่วยเพิ่มปริมาณไออ่อนนั้น ถ้าสารแม่เหล็กนี้ทิศทางบานานกับสารไฟฟ้าจะเรียกว่า สารตามยาว (Longitudinal Field) จะทำให้ประสิทธิภาพการเพิ่มไออ่อนไม่สูงนักแต่ไม่ทำให้แนวการเกิดโคล์ดิสชาร์จเปลี่ยนแปลงไปและยังสามารถรักษาความสม่ำเสมอของพิล์มนบางไว้ได้ กรณีของสารแม่เหล็กตั้งฉากกับสารไฟฟ้าเรียกว่า สารตามขวาง (Transverse Field) โดยกระบวนการเพิ่มปริมาณไออ่อนเกิดขึ้นดังนี้ หลังจากที่ไออ่อนวงวนกับเป้าสารเคลื่อนและเกิดการปลดปล่อยอิเล็กตรอนชุดที่สองออกมายังอิเล็กตรอนชุดที่สองจะเคลื่อนที่ในลักษณะเดียวกับภาพที่ 2-13 (d) ทำให้อิเล็กตรอนถูกกักอยู่ในบริเวณสารแม่เหล็กใกล้ค่าโอด และเคลื่อนที่แบบลอดเดือน ตามแนวผิวน้ำขึ้นของค่าโอด (ภาพที่ 2-14) ทำให้อิเล็กตรอนมีโอกาสชนกับโมเลกุลแก๊สบริเวณผิวน้ำป้าสารเคลื่อนมากขึ้นจนเพิ่มปริมาณไออ่อนสูงมากใกล้ผิวน้ำป้าสารเคลื่อน อิเล็กตรอนตัวใดที่ไม่ชนโมเลกุลของแก๊สจะเดินทางเป็นวงโค้งเข้าชนป้าสารเคลื่อนและผลิตอิเล็กตรอนชุดที่สองมากขึ้นเป็นผลทำให้ไออ่อนถูกผลิตในปริมาณสูงมากและเกิดใกล้ผิวค่าโอด ทำให้เกิดสภาพชาร์จจากไออ่อนวงวนที่ผิวค่าโอดซึ่งอาจสั่นกว่าระยะปลดของการชน ในดิจิสปัตเตอริ่งที่ความดันใช้งานมากแรงเคลื่อนไฟฟ้าเกือบทั้งหมดจะตกคร่อมบริเวณนี้และมีค่าสารไฟฟ้าสูงกว่าบริเวณค่าสปัตเตอริ่ง ขณะไม่มีสารแม่เหล็กมากทำให้ความต้องการแรงดันไฟฟ้าระหว่างขั้วอิเล็กโทรดของระบบแมgnีตرونสปัตเตอริ่ง ลดลงทั่วไปมีค่าประมาณ 300 - 800 V ถ้าใช้สารแม่เหล็กกับแมgnีตرونทรงกระบอกจะเรียกว่า แมgnีตرونสปัตเตอริ่งทรงกระบอก (Cylindrical Magetron Sputtering) และถ้าใช้สารแม่เหล็กกับระบบดิจิสปัตเตอริ่งที่ใช้เป้าแบบแผ่นราจะเรียกว่า พลานาร์แมgnีตرونสปัตเตอริ่ง (Planar Magnetron Sputtering)



ภาพที่ 2-14 การจัดสนามแม่เหล็กและแนวการกัดกร่อนของเป้าสารเคลื่อนในระบบพลาณาร์แมกนิตรอนสปีตเตอริง (Chapman, 1980)

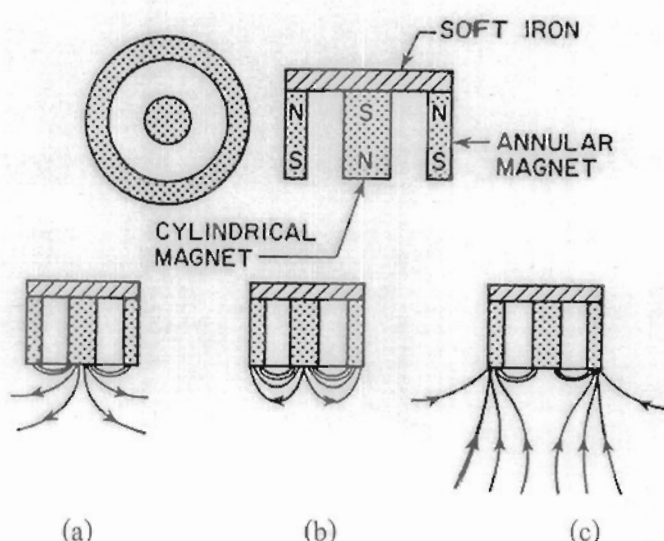
ประสิทธิภาพการเพิ่ม ไออุ่นที่สูงมากในระบบแมกนิตรอนและพลาสม่าที่เกิดขึ้นจะเข้มมากบริเวณเป้าสารเคลื่อนทำให้อัตราการสปีตเตอร์ของระบบนี้มีค่าสูง ขณะที่ความดันในระบบมีค่าต่ำแรงดันไฟฟ้าระหว่างอิเล็กโทรดมีค่าเกือบคงที่ที่ทุกค่าของอัตราการสปีตเตอร์ แมกนิตรอนสปีตเตอริง ทรงกระบอกหัวไว้มีอัตราการสปีตเตอร์สูงกว่า $1.0 \mu\text{m}/\text{min}$ และมีอัตราเคลื่อนสูงกว่า $0.2 \mu\text{m}/\text{min}$ ความหนาแน่นกระแสที่ผิวคาด ประมาณ 20.0 mA/cm^2 แรงดันไฟฟ้าระหว่างอิเล็กโทรดมีค่าระหว่าง $300 - 800 \text{ V}$ ที่ความดันประมาณ $5.33 \times 10^{-5} \text{ mbar}$ ประสิทธิภาพการเคลื่อนสูงกว่า 10 เท่าตัว นอกจากนี้ยังสามารถขับสเกลใช้กับระบบสปีตเตอริงขนาดใหญ่ได้ง่ายเมื่อออกแบบใช้งานร่วมกับไทรโอดสปีตเตอริง ระบบสามารถเคลื่อนได้ที่ความดันต่ำถึง 10^{-5} mbar

ระบบเคลือบแบบอันนาลานช์แมกนีตرونสปัตเตอริ่ง

ในการเคลือบฟิล์มพบว่าถ้าระดมยิง ไออ่อนระหว่างการเกิดฟิล์มจะเป็นการเปลี่ยนแปลงฟิล์มหลายอย่าง เช่น พฤติกรรมการเกิดนิวเคลียส (Nucleation Behaviour) สัณฐานวิทยา (Morphology) องค์ประกอบ (Composition) ทิศทางการจัดเรียงตัว และสมบัติเชิงกล เป็นต้น ในกรณีแมกนีตرونสปัตเตอริ่ง ไออ่อนที่ใช้ในการระดมยิงวัสดุรองรับจะมาจากประจุไฟฟ้าที่อยู่รอนวัสดุรองรับ ซึ่งทำได้โดยการจ่ายศักย์ลงประมาณ 1 - 500 V ให้กับวัสดุรองรับ อย่างไรก็ได้ ความหนาแน่นกระแสที่ฟิล์มหรือผิวน้ำของวัสดุรองรับ สำหรับระบบดังนี้แมกนีตرون ปกติจะมีค่าต่ำประมาณ 0.05 - 0.10 ไออ่อน/ อะตอมสารเคลือบ แต่การใช้งานจริงต้องมีค่าสูงกว่านี้ (Rohde & Munz, 1991)

สำหรับการเคลือบแข็ง (Hard coating) ฟิล์มนางที่ต้องการนั้นจะต้องมีช่องว่าง (Voids) ในเนื้อฟิล์มน้อยที่สุด ซึ่งจะทำให้ฟิล์มนางที่ได้นั้นมีความทนต่อการกัดกร่อน (Corrosion) และทนต่อการขัดสี (Wear Resistance) มากขึ้น โดยการลดช่องว่างในเนื้อฟิล์มนี้สามารถทำได้โดยการเพิ่มความต่างศักย์ไฟฟ้าให้กับวัสดุรองรับ แต่ก็จะทำให้เกิดความเสียและความบกพร่อง (Defects) ภายในกราน (Grain) ของฟิล์มมากขึ้นเมื่อความต่างศักย์ไฟฟ้าเพิ่มขึ้นด้วย ซึ่งจะทำให้คุณภาพของฟิล์มและการขัดติดของฟิล์มกับวัสดุรองรับลดลง ปัญหานี้สามารถแก้ได้โดยการเพิ่มความหนาแน่นของกระแสไออ่อน (อัตราส่วนของ ไออ่อน/ อะตอมสารเคลือบ) ซึ่งสามารถทำได้โดยใช้ระบบเคลือบแบบอันนาลานช์แมกนีตرونสปัตเตอริ่ง (Unbalanced Magnetron Sputtering)

(Rohde & Munz, 1991; Sproul, 1992)



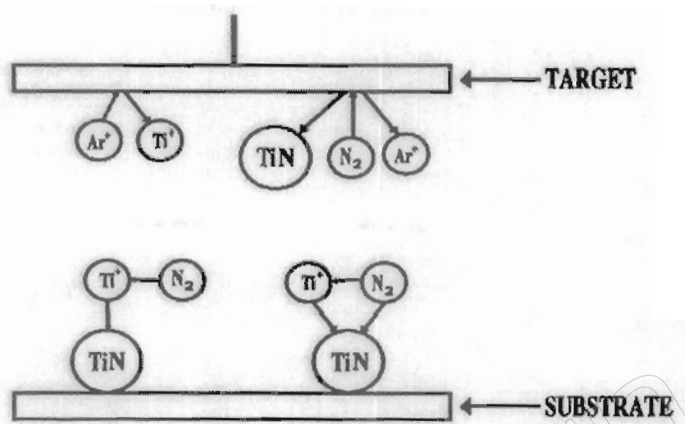
ภาพที่ 2-15 ลักษณะเด่นของระบบอันนาลานช์แมกนีตرونสปัตเตอริ่ง
(Rickerby & Matthews, 1991)

ระบบอันนาลานซ์แมกนีตอโรนสปัตเตอริง ได้รับการคิดค้นและพิมพ์เผยแพร่โดย Window และ Savvides ครั้งแรกในปี ก.ศ.1986 โดยทั้งสองพบว่าการติดตั้งแม่เหล็กที่ค่าโถดของระบบสปัตเตอริงปกตินั้น ถ้าหากทำให้ความเข้มของสนามแม่เหล็กด้านใดด้านหนึ่งมากหรือน้อยกว่าอีกด้านหนึ่งแล้วสนามแม่เหล็กที่ค่าโถดจะมีลักษณะไม่สมมาตร ทำให้ปริมาณไอออนที่วิ่งเข้าชนหรือระคมยิงวัสดุรองรับนั้นมีปริมาณเพิ่มขึ้นมากกว่าปกติ ซึ่งจะมีผลต่อคุณภาพของฟิล์ม โดยทรงการจัดแม่เหล็กของระบบนี้อาจแบ่งเป็น 3 แบบ คือความเข้มสนามของแม่เหล็กที่ด้านในมากกว่าด้านนอก (ภาพที่ 2-15 (a)) หรือกลับกัน (ภาพที่ 2-15 (c)) หรือใกล้เคียงกัน (ภาพที่ 2-15 (b))

ถ้าจัดแม่เหล็กตามภาพที่ 2-15 (a) ไอออนที่ระคมยิงวัสดุรองรับจะมีค่าต่ำ (อัตราส่วนไอออน/อะตอมสารเคลือบประมาณ $0.25 : 1$) ต่อการจัดแม่เหล็กตามภาพที่ 2-15 (c) ไอออนที่ระคมยิงวัสดุรองรับจะมีค่าเพิ่มมากขึ้นทำให้อัตราส่วนไอออน/อะตอมสารเคลือบมีค่าสูงขึ้นคือประมาณ $2 : 1$ (เมื่อใช้ความต่างศักย์ไฟแอดสต้า) ปัจจุบันมีนักวิจัยหลายกลุ่มที่นำแนวคิดนี้ไปประยุกต์ใช้อุปกรณ์ที่ต้องใช้แรงดันไฟฟ้าสูง เช่น ไฟฟ้าจากการศึกษาของ Musil และ Kadlec ที่ระบบเคลือบใช้อันนาลานซ์พลาโนร์แมกนีตอโรนเดียวและคลาวด์แม่เหล็กไฟฟ้า 2 ชุด เคลื่อนไทเทเนียมในไตรค์ที่ระบบน้ำสารเคลือบและวัสดุรองรับประมาณ 200.0 mm โดยใช้ความต่างศักย์ไฟแอดสต้าในช่วง $-5 \text{ } \mu\text{A} - 100 \text{ V}$ พบร่วมกับการทำให้ได้ความหนาแน่นกระแสสูงถึง 6.0 mA/cm^2 ซึ่งสูงมากพอสำหรับใช้ในงานอุตสาหกรรม (Munz, 1991)

การเคลือบฟิล์มนางด้วยวิธีรีแอคตีฟโคสปัตเตอริง

สำหรับกระบวนการรีแอคตีฟโคสปัตเตอริง (Reactive Co-Sputtering) คือ กระบวนการรีสปัตเตอริงที่ป้อนแก๊สไวปูริกิรยาเข้าสู่ระบบ เพื่อให้เกิดสารประกอบของฟิล์มตอกเคลือบบนชิ้นงานหรือแผ่นรองรับ การสปัตเตอร์ที่มีเป้าสารเคลือบเป็นโลหะบริสุทธิ์ 2 เป้า (co-target) โดยการป้อนแก๊สไวปูริกิรยา (Reactive Gas) อาจทำให้เกิดสารประกอบต่างๆของโลหะได้ เช่น การป้อนแก๊สในไตรเจนอาจทำให้เกิดโลหะในไตรค์ ถ้าป้อนแก๊สอะเซทิลีน (C_2H_2) หรือ มีเทน (CH_4) อาจเกิดเป็นสารประกอบของโลหะคาร์บไนด์ เป็นต้น โดยปกติความดันแก๊สไวปูริกิรยาที่ใช้ค่อนข้างต่ำๆ ไม่เพียงพอต่อการเกิดปฏิกิริยาในสภาพะปกติ อย่างไรก็ตามคาดกันว่า อิเล็กตรอนในพลาสม่าที่มีส่วนในการกระตุ้นหรือไอօนในแก๊สไวปูริกิรยาให้มีความสามารถในการทำปฏิกิริยา กับโลหะได้สูงกว่าสภาพะปกตินามาก โดยแก๊สไวปูริกิรยา เช่น แก๊สในไตรเจน (N_2) อาจรวมตัวกันกับโลหะ เช่น โครเมียม (Cr) และวานเดียม (V) แล้วเกิดเป็นสารประกอบ โครเมียมวานเดียม ในไตรค์ ได้เป็น 3 ลักษณะ คันนี้



ภาพที่ 2-16 การเกิดปฏิกิริยารวมตัวกันเป็นสารประกอบระหว่างแก๊สไวน้ำปฏิกิริษากับอะตอม เป้าสารเคลือบในบริเวณต่างๆ (นิติ หอประชุม, 2548)

1. แก๊สไวน้ำปฏิกิริยาเข่นแก๊สในโตรเจนรวมตัวกับอะตอมไนโตรนียมหรือวอเคนเดียมที่ผิวหน้าเป้าของสารเคลือบก่อให้เป็นสารประกอบ โครเมียมวอเคนเดียมในโตรดแล้วถูกสปัตเตอร์ให้หลุดออกแล้วตกเคลือบลงบนแผ่นวัสดุรองรับ ปฏิกิริยาด้านนี้เกิดขึ้นสูงเมื่อความดันย่ำของแก๊สไวน้ำปฏิกิริยาในระบบมีค่าสูง
2. แก๊สไวน้ำปฏิกิริยาเข่นแก๊สในโตรเจนรวมตัวกับอะตอมโครเมียมหรือวอเคนเดียมที่ถูกสปัตเตอร์ ในระหว่างทางวิ่งสู่แผ่นวัสดุรองรับแล้วตกเคลือบลงบนแผ่นวัสดุรองรับ กระบวนการนี้ในทางทฤษฎีถือว่าเกิดได้น้อยมากเนื่องจากสภาพการทำงานทำปฏิกิริยาไม่เหมาะสมตามกฎอนุรักษ์พลังงานและไม่แน่นอน แต่เป็นไปได้ที่การรวมตัวของสารประกอบจะเกิดในช่วงนี้
3. แก๊สไวน้ำปฏิกิริยาเข่นแก๊สในโตรเจนรวมตัวกับโครเมียมหรือวอเคนเดียมบนผิววัสดุรองรับหรือชั้นงาน การทำริ่แอคตีฟสปัตเตอร์ โดยทั่วไปความดันแก๊สไวน้ำปฏิกิริยาที่เหมาะสมต่อการเกิดสารประกอบที่ต้องการมีค่าต่ำกว่าช่วงที่เกิดการโกล์ดิสชาร์จ ในกระบวนการนี้ใช้แก๊สไวน้ำปฏิกิริษากับแก๊สเฉียบทำให้รักษาสภาพโกล์ดิสชาร์จไว้ได้ในเวลาเดียวกันช่วยให้อัตราเคลือบสูงขึ้น ในการทำริ่แอคตีฟสปัตเตอร์ ยังมีสิ่งที่ต้องคำนึงถึงคือความดันย่ำของแก๊สไวน้ำปฏิกิริยาต้องมีค่าพอเหมาะสมกับการเกิดฟิล์มสารประกอบที่ต้องการ เช่น การเคลือบสารประกอบ Ferroferric Oxide (Fe_3O_4) ความดันแก๊สออกซิเจนที่ใช้ในริ่แอคตีฟสปัตเตอร์ ถูกจำกัดในช่วงความดันแคบมาก ถ้าความดันย่ำของแก๊สออกซิเจนมากไปจะเกิดสารประกอบของ Ferric Oxide (Fe_2O_3) ถ้าน้อยเกินไปจะเกิดสารประกอบ Ferrous Oxide (FeO) หรือฟิล์มของเหล็ก (Fe)

การหาลักษณะเฉพาะของฟิล์มบาง

ลักษณะเฉพาะหรือสมบัติต่าง ๆ ของฟิล์มบางสามารถวิเคราะห์ได้จากเทคนิคต่าง ๆ งานวิจัยนี้ศึกษาลักษณะเฉพาะของฟิล์มบางได้แก่ โครงสร้างผลึก เฟส ลักษณะพื้นผิว และความหนา ด้วยเทคนิคต่าง ๆ ดังนี้

1. การศึกษาโครงสร้างด้วยเครื่อง X-Ray Diffractometer (XRD)

ลักษณะเฉพาะสำคัญอย่างหนึ่งของฟิล์มบางคือการศึกษาโครงสร้างผลึก หรือ เฟส ซึ่งสามารถวิเคราะห์ได้ด้วยเทคนิคการวิเคราะห์การเลี้ยวเบนรังสีเอกซ์ (Diffraction Analysis) หนึ่งถูกย แก้ไขไว้ (2555) อธิบายหลักการของเทคนิคนี้ไว้ดังนี้ การวิเคราะห์การเลี้ยวเบนรังสีเอกซ์ เป็นเทคนิคที่ใช้สำหรับการแยกแยะ โครงสร้างของสารที่ใช้ในการเคลือบ โดยการวิเคราะห์อาศัย การเปรียบเทียบรูปแบบการเลี้ยวเบนกับมาตรฐาน JCPDS (Joint Committee on Powder Diffraction Standard) ของสารนั้น ดังนั้นเทคนิค XRD เป็นเทคนิคสำหรับวัดค่าความหนื้นของรังสี เอกซ์ที่สะท้อนจากผลึก ใช้หลักการของการเลี้ยวเบนของคลื่น โดยพบว่ารังสีเอกซ์เดียวเบนได เมื่อ ให้ตัดกระแทบที่ Bragg ได้เส้นอวนวิดิคว่าเราสามารถมองผลึกประกอบด้วยชั้น (Layer) หรือ ระนาบ (Plane) ของอะตอนซึ่งสามารถสะท้อนคลื่นที่ตัดกระแทบ โดยมุ่งที่ตัดกระแทบท่ากันมุ่ง สะท้อน หันนิคลื่นที่สะท้อนออกไปจากระนาบต่าง ๆ ดังกล่าวจะมีความเข้มสูง สำหรับรังสีเอกซ์ 1 และ 2 ตัดกระแทบทามมุ่ง θ กับระนาบของผลึก A และ B สนานไฟฟ้าของรังสีเอกซ์จะก่อให้เกิด แรงคูลอมป์กระทำบนอิเล็กตรอนที่ P กับ Q ให้สัมคัญความถี่เดียวกับรังสีเอกซ์ที่ตัดกระแทบ และ อิเล็กตรอนนั้นแผ่คลื่นแม่เหล็กไฟฟ้าเป็นรังสีเอกซ์ออกไปทุกทิศทางแต่ในทิศทาง 1' และ 2' ซึ่งเสมือนรังสีเอกซ์สะท้อนออกจากกระนาบของผลึกจะไปแทรกสอดแบบเสริมกัน (In Phase) แม้ว่าแบบจำลองที่กล่าวมาจะไม่ถูกต้องในทางกายภาพ เมื่อจากแท้จริงแล้วระนาบของอะตอน "ไม่ได้สะท้อนคลื่นแต่รีบินก์ใช้ได้ในทางเรขาคณิต พิจารณา

$$\delta = n\lambda \quad (2-4)$$

เมื่อ δ คือ ความแตกต่างของระยะที่คลื่นเดินทาง
 λ คือ ความยาวคลื่น
 n คือ จำนวนเต็มใด ๆ

จากภาพที่ 2-17

$$\delta = SQ + QT = 2SQ \quad (2-5)$$

จากรูปต่อไปนี้มีดังนี้

$$\delta = 2PQ \sin \theta \quad (2-6)$$

โดย PQ คือ ระยะห่างระหว่างระนาบ d_{hkl}

$$\delta = 2d \sin \theta \quad (2-7)$$

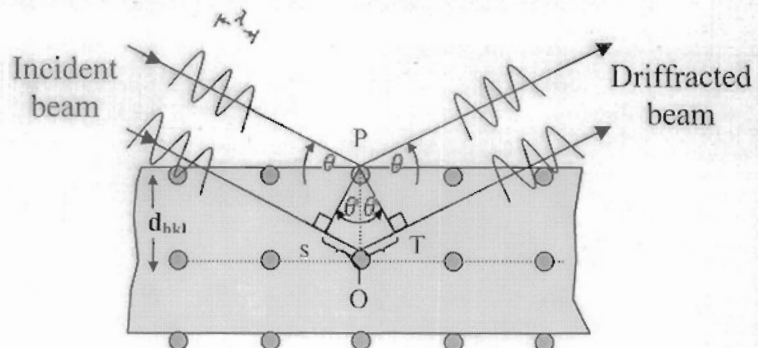
จากสมการ (2-3) เท่ากับ (2-6) จะได้

$$2d_{hkl} \sin \theta = n\lambda \quad (2-8)$$

เรียกสมการที่ (2-8) นี้ว่า สมการการเลี้ยวเบนรังสีเอกซ์จากผลึก (Bragg's Law)

โดยที่ λ เป็นความยาวคลื่น n เป็นลำดับของการสะท้อน d_{hkl} เป็นระยะห่างระหว่างระนาบ $(h k l)$ และ θ เป็นมุมต่อกลางและมุมสะท้อนเมื่อวัดจากแนวระนาบที่กำลังพิจารณา

ในภาพที่ 2-17 เป็นแบบจำลองสำหรับการพิสูจน์กฎของแบรกค์ อะตอนเรียงตัวเป็นระเบียบ โดยมีระยะห่างระหว่างอะตอนใกล้เคียงกับความยาวคลื่นของรังสีเอกซ์ ($\sim 10^{-10} \text{ m}$) จะทำหน้าที่เป็นเสมือน เกรตติงเลี้ยวเบนแต่จะเป็นเกรตติงเลี้ยวเบนแบบ 3 มิติ



ภาพที่ 2-17 แบบจำลองการเรียงตัวของอะตอน

สัญญาณที่ตรวจจับได้จะแสดงออกมาในรูปแบบของการเลี้ยวเบนรังสี (Diffraction Pattern) ความเข้มของสัญญาณนี้อยู่กับหมายเลขปัจจัยด้วยกัน เช่น โครงสร้างของวัสดุ ปริมาตรของวัสดุที่แร่รังสี (Volume of Irradiated Material) รูปทรงของการหักเห (Diffraction Geometry) และการวางชิ้นงาน (Sample Alignments) เป็นต้น

ตำแหน่งของพีค ที่มีค่ามากที่สุดสามารถบอกถึงขนาดและรูปร่างของหน่วยเซลล์ได้ ในขณะที่ความกว้างให้หาค่าขนาด การจัดเรียงตัว (Orientation) และความเครียด (Strain) ภายในเกรนของวัสดุหลายผลึก ทั้งนี้ขนาดผลึกของฟิล์มสามารถหาได้จากสมการของ Scherrer (ดังสมการที่ 2-9)

$$L = \frac{k\lambda}{\beta \cos \theta} \quad (2-9)$$

เมื่อ L คือ ขนาดผลึก

k คือ ค่าคงที่เท่ากับ 0.9

λ คือ ความยาวคลื่นของรังสีเอกซ์ ($CuK_{\alpha} = 1.5406 \text{ \AA}$)

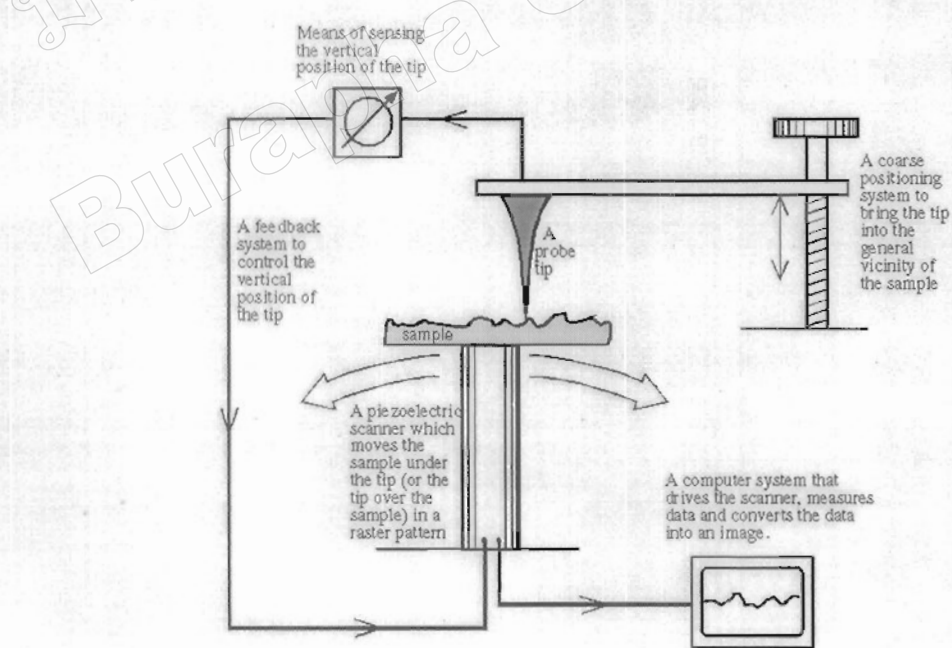
β คือ ความกว้างครึ่งหนึ่งของพีคที่มีค่าความเข้มสูงสุด

θ คือ ครึ่งหนึ่งของมุมครองจุดศูนย์กลางพีค

บางครั้งตำแหน่งของรูปแบบการเลี้ยวเบนที่วัดได้อาจจะเดื่อนไปด้วยค่ามุมที่สูงขึ้น เนื่องจากผลของการความเคนคงท้าง (Residual Stress) ในผิวสารเคลื่อนที่นั่นเอง ส่วนความเข้มของสัญญาณที่ได้อาจไม่เป็นไปตามค่ามาตรฐาน JCPDS เพราะเกิดการจัดเรียงตัวในทิศทางที่ชอบ (Preferred Orientation) ของอะตอมในพิล์มนอกจากนี้เทคนิคการเลี้ยวเบนรังสีเอกซ์ยังสามารถให้ข้อมูลที่บอกร่องส่วนผสมทางเคมีของเฟส (Phase Composition) และค่าพารามิเตอร์ของแลตทิซ (Lattice Parameter)

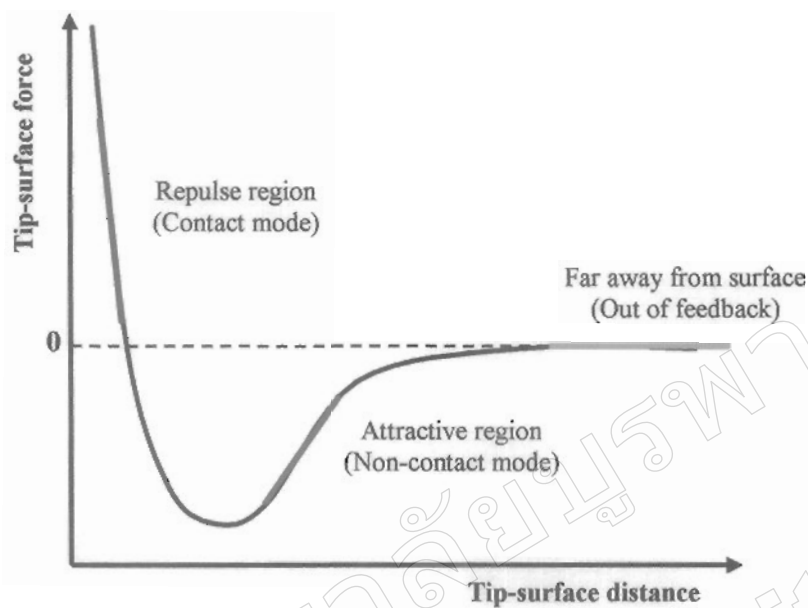
2. การศึกษาลักษณะพื้นผิวด้วยเครื่อง Atomic Force Microscopy (AFM)

ลักษณะเฉพาะสำคัญอีกอย่างหนึ่งของฟิล์มบางคือ ลักษณะพื้นผิว และความหนา เทคนิกที่ใช้ศึกษาลักษณะพื้นผิว และความหนา ของฟิล์มบาง คือ Atomic Force Microscopy (AFM) ซึ่ง จตุพร วุฒิกนกกาญจน์ (2542) อธิบายหลักการทำงานไว้ดังนี้ เทคนิก Atomic Force Microscopy เป็นการสร้างภาพของผิววัสดุจากแรงกระทำระหว่างผิววัสดุกับตัวตรวจวัดที่ทำจากเข็มขนาดเล็ก (Probe Tip) และเป็นเทคนิกหนึ่งในกลุ่มของ Scanning Probe Microscopy (SPM) ซึ่งเป็นกลุ่ม เทคนิกที่สามารถใช้ในการศึกษาสภาพพื้นผิวของวัสดุประเภทต่าง ๆ ได้ หลักการพื้นฐานคือ การใช้ เข็มตรวจวัดขนาดเล็กที่ทำจากซิลิโคนไนไตรด์ (Silicon Nitride, Si_3N_4) เคลื่อนที่กราด (Scan) ไปทั่วบริเวณต่าง ๆ ของผิววัสดุ โดยมีตัวเพิบโซอิเล็กทริกสแกนเนอร์ (Piezoelectric Scanner) เป็นตัวควบคุม สภาพผิวที่แตกต่างกันไปจะก่อให้เกิดการเปลี่ยนแปลงกับเข็มตรวจวัดแตกต่างกัน ไป โดยตัวควบคุมนี้เป็นเก้าอี้ติดอยู่จะมีการโค้งงอ (Bending) ปริมาณการโค้งงอนี้สามารถตรวจวัดได้ โดยใช้โฟโตเดเตอร์ (Photo Detector) ดังภาพที่ 2-18 ภาพที่ได้จากเทคนิกนี้จะแสดงถึงความ สภาพพื้นผิวในแต่ละบริเวณที่ตรวจสอบ ในเทคนิก AFM นี้ สิ่งที่ทำให้คานที่มีเข็มเก้าอี้อยู่เกิดการ โค้งงอนขึ้นก็คือ แรงกระทำระหว่างอะตอมซึ่งอาจจะเป็นแรงดึงดูดหรือแรงผลักก็ได้ขึ้นอยู่กับ ระยะห่างระหว่างเข็มปลายแหลมกับพื้นผิว ดังแสดงในภาพที่ 2-19

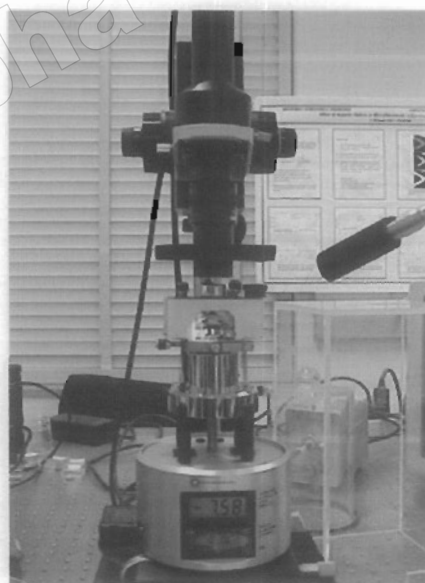


ภาพที่ 2-18 องค์ประกอบหลักของเครื่องมือ Scanning Probe Microscope

(<http://www2.polito.it/ricerca/micronanotech/strumenti/SPM.html>)



ภาพที่ 2-19 ลักษณะของแรงกระทำระหว่างอะตอมที่เกิดขึ้นในระยะห่างระหว่างวัตถุต่าง ๆ
(อคิตร บูรณะวงศ์, 2551)



ภาพที่ 2-20 เครื่อง AFM แบบ Multimode (http://rcsgi.eng.ohio-state.edu/nlim/page_01.htm)

ภาพที่ 2-20 แสดงให้เห็นถึงเครื่อง Atomic Force Microscope รุ่น NanoScope IIIa บริเวณตรงกลางเป็นที่ใช้วางชิ้นงาน โดยมีเข็มวัดวางอยู่ด้วย ส่วนด้านบนของเครื่องมือมีกล้อง กล้องทรานซ์ฟอร์ม (Video Microscope) ติดตั้งไว้สำหรับใช้ถูดจำแนกของเข็มที่จะทำการว่างลงบน บริเวณต่าง ๆ บันผิว ภาพที่ได้จากกล้องกล้องทรานซ์ฟอร์มจะแสดงทางจอโทรทัศน์ ด้านบนยังมี แหล่งกำเนิดแสงเลเซอร์และไฟโอลูมิเนซเซนต์ที่ใช้วัดการโถงของผิวชิ้นงาน

การเก็บข้อมูลด้วยเทคนิค AFM เก็บได้ 4 ลักษณะ (Mode) ดังนี้คือ

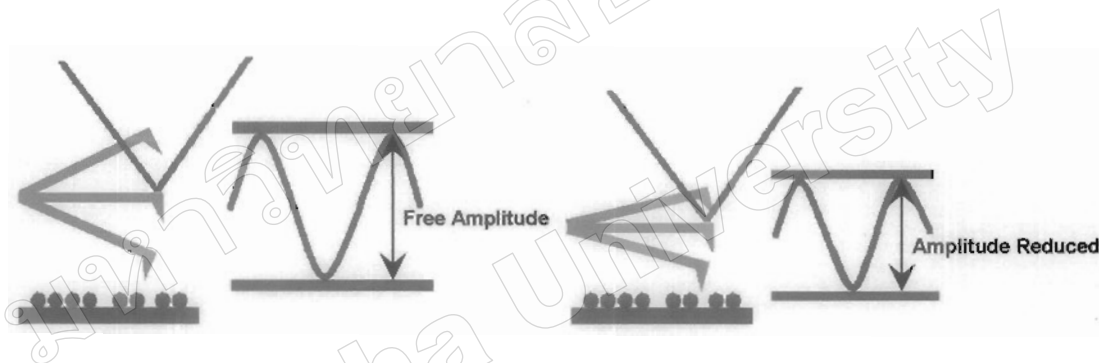
1. Contact Mode เป็นการศึกษาสภาพผิวชิ้นงานโดยการขับให้เข้ามายิด (Slide) ไปบนผิวงานซึ่งจะทำให้มีแรงผลักเคลื่อนที่เมื่อออกจากผิวงานอยู่ไกลกันมาก แรงผลักนี้ เป็นแรงที่เปลี่ยนแปลงไปตามสภาพผิว ซึ่งทำให้มีการโถงงอ (Deflection) ของคานชี้ (Cantilever) ที่มีเข็ม ขัดเคาะอยู่ที่ปลาย โดยปริมาณการโถงจะเปลี่ยนแปลงไปตามลักษณะของพื้นผิวชิ้นงาน

เทคนิคแบบ Contact Mode มีข้อเสียคือ ภารลากให้เข้ามาระยะห่างที่ใกล้ขึ้มไปบัง บริเวณต่าง ๆ บันผิวงาน อาจทำให้พื้นผิวสกูที่ศึกษาต่างไปจากสภาพเดิมที่แท้จริง หรืออาจเกิด ความเสียหายขึ้นแก่ผิวงานได้ เช่น ภายในได้สภาวะบรรยายกาศปกติซึ่งมีความแตกต่างในภาค อาจเกิดหยดน้ำหรือสิ่งสกปรกบนผิวงาน ซึ่งเมื่อเข้ามายิดเคลื่อนที่ไปสัมผัสถูกพิรุณที่มีชั้นบาง ๆ ของหยดน้ำและสิ่งสกปรกดังกล่าว ทำให้มีแรงดึงไฟฟ้าสถิตและแรงตึงผิวคงให้ด้วยตัวเองที่มีเข็ม ขัดเคาะที่ปลายเคลื่อนที่ลงมาสัมผัสถูกขั้นดังกล่าว ทำให้แรงระหว่างเข็มกับผิวงานที่เกิดขึ้นโดยรวม เปลี่ยนแปลงไป นอกจากนี้ ยังอาจทำให้ผิวงานถูกทำลาย เช่น เกิดการฉีกขาดจากการลากเข้ามายัง ผิวชิ้นงาน

2. Non-Contact Mode เพื่อลดการเสียหายของผิวชิ้นงาน ได้มีการพัฒนาเทคนิคแบบ Non-Contact Mode ขึ้นมา โดยตัวเข็มปลายแหลมจะถูกยกขึ้นมาให้มีระยะห่างเหนือผิวงานสูงมากขึ้น คือประมาณ 10 - 100 Å จึงไม่มีปัญหารื่องการทำลายโครงสร้างผิวงาน กรณีนี้แรงกระทำระหว่าง ตัวคนที่มีเข็มปลายแหลมขัดเคาะอยู่กับผิวงานจะเป็นลักษณะแรงดึงดูด ซึ่งเปลี่ยนแปลงไปตาม รูปทรงของสภาพผิวงาน เช่นเดียวกัน

วิธีนี้มีข้อจำกัดเกี่ยวกับความละเอียดของภาพที่เกิดขึ้น นั่นคือ แรงดึงดูดประเทาแวนเดอร์วัลส์ (Van Der Waals) ที่เกิดขึ้นในกรณีนี้จะเป็นแรงที่อ่อนกว่าเมื่อเทียบกับแรงผลักที่เกิดขึ้นในกรณีของ Contact Mode ดังนั้นการตรวจสอบอาจไว (Sensitive) ต่อสิ่งเปลกปลอกที่อยู่บนผิวงาน เช่น หยดน้ำที่เกาะอยู่บนผิว

3. Tapping Mode เป็นเทคนิคที่รวมเอาลักษณะของการวัดแบบ Contact Mode และ Non-Contact Mode เข้าด้วยกัน กล่าวคือ ยังคงให้มีการสัมผัสนะระหว่างเข็มกับผิวงานในระยะที่ใกล้กันมาก เพื่อมีนกับกรณีของ Contact Mode เพื่อให้เกิดภาพที่ชัดเจน ในขณะเดียวกัน ก็จะมีการสั่นหรือขับ震เพื่อป้ายแหล่งให้เคลื่อนที่ขึ้นลงไปพร้อม ๆ กับการเคลื่อนที่สติกเกอร์ไปข้างริเวณต่าง ๆ บนผิวงาน ดังนั้นจึงเป็นการหลีกเลี่ยงปัญหาการลากไกด์เพื่อป้ายแหล่ง ซึ่งทำให้เกิดการทำลายสภาพของผิวงานได้ เมื่อใน Contact Mode



ภาพที่ 2-21 ลักษณะการสั่นของคานที่มีเข็มติด

(<http://www.nanocraft.de/kompetenz/tapping/tapping.html>)

ภาพที่ 2-21 แสดงการสั่นของงานในสภาพอิสระหรือตอนเริ่มต้นที่ยังไม่เกิดการสัมผัส และเคลื่อนที่ไปบนผิวงาน จะเห็นว่าแอมเพลจูดยังสูงเมื่อเทียบกับแอมเพลจูดจากการสั่นของงาน เมื่อมีการแตะสัมผัส (Tapping) ลงบนผิวงาน เนื่องจากในการสัมผัสกันจะมีการสูญเสียพลังงานของ การสั่น ทำให้แอมเพลจูดของการสั่น (Oscillation Amplitude) ลดลง ซึ่งค่าที่ลดลงนี้ใช้เป็นตัววัด และบอกถึงลักษณะของสภาพพื้นผิวที่มีความสูงต่ำแตกต่างกัน ไป เช่น เมื่อเพิ่มตรวจวัดเคลื่อนที่ผ่าน บริเวณผิวงานที่มีความนูนสูงขึ้นมา งานจะมีพื้นที่หรือแอมเพลจูดในการสั่นลดลง ในทางตรงข้าม เมื่อเพิ่มปลายแหลมเคลื่อนที่ผ่านบริเวณผิวที่มีการขูดด้วยหรือมีความลึกลงไป ตัวงานก็จะมีพื้นที่ใน การสั่นเพิ่มขึ้น และมีแอมเพลจูดสูงขึ้น (เข้าใกล้แอมเพลจูดสูงสุดในสภาพที่ยังไม่มีการทำ การสแกน) แอมเพลจูดของการสั่นที่เปลี่ยนแปลงไปถูกวัดโดยแอมเพลจูดดีเทคเตอร์ (Amplitude Detector) ต่างไปยังตัวควบคุม เมื่อวัดสัญญาณพร้อมทั้งปรับระยะระหว่างเข็มกับผิวงาน เพื่อรักษา ให้ค่าแอมเพลจูดของการสั่นคงที่ต่อไป จนกว่ามีการเปลี่ยนแปลงของแอมเพลจูดของการสั่นตาม สภาพพื้นผิวในบริเวณถัดไป

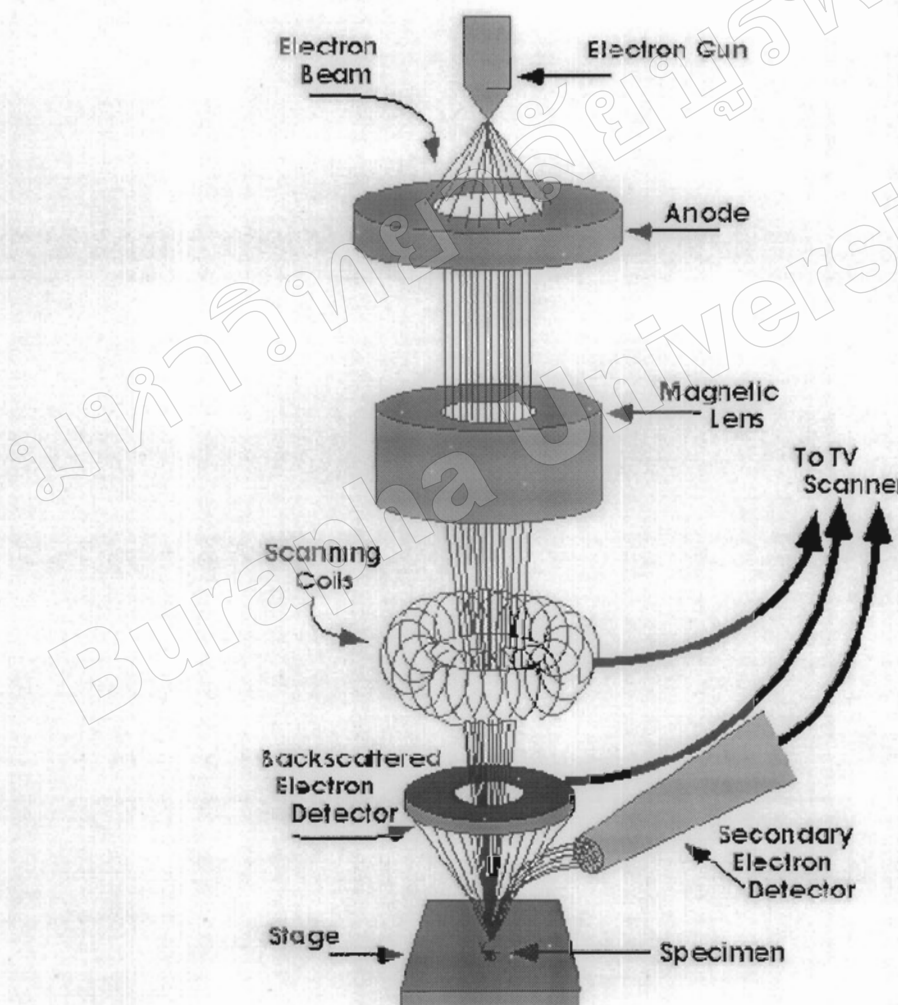
4. Force Modulation Mode วิธีนี้หมายความว่ารับพื้นผิวสัมผัสด้วยไฟฟ้า เทคนิคนี้เป็น การวัดและสร้างภาพพื้นผิวชิ้นงานที่มีความแตกต่างของความแข็งเกร็ง (Stiffness) ในแต่ละเฟสสูง โดยกรณีนี้ตัวเข็มสแกนไปในลักษณะที่มีการสั่นในแนวตั้งหากกับผิววัสดุด้วยแอมเพลจูดเล็กน้อย แม้จะมีความเริ่มในการสั่นที่สูงกว่าการเคลื่อนที่สแกนของเข็ม และเมื่อตัวเข็มถูกนำเข้ามาแตะสัมผัส กับผิววัสดุจะเกิดแรงด้านจากผิวของวัสดุที่เกิดจากการสั่นและทำให้ตัวงานงอ ถ้าหากให้แรงที่ทำ ให้ตัวงานสั่นคงที่ พื้นผิวบริเวณที่เข็มกว่าจะทำให้เกิดการด้านต่อการสั่นในแนวตั้งของตัวงาน มากกว่า และจะทำให้ตัวงานงอกกว่า ดังนั้น การเปลี่ยนแปลงของ แอมเพลจูดที่เกิดจากการ โถ่ถ่องของตัวงานจึงนำมาใช้วัดเปรียบเทียบงานแข็งที่บริเวณต่าง ๆ ของผิวงาน

หลักการของวิธี Tapping Mode กับ Force Modulation Mode คล้ายกันที่มีการสั่นของ เข็มในแนวตั้งพร้อมมีการสแกนไปบนผิวชิ้นงาน ความแตกต่างของ 2 เทคนิคคือ กรณี Force Modulation Mode จะสั่นด้วยความเร็วสูง (สูงกว่าความเร็วในการสแกน) และการวัดแอมเพลจูดที่ เกิดจากการบีบคงของงาน เป็นการวัดเนื่องจากผลของแรงด้านการสั่น เมื่อมีการสัมผัสของเข็มกับ ผิวงาน ขณะที่ Tapping Mode เป็นการวัดการเปลี่ยนแปลงแอมเพลจูดของการสั่นของงานที่ เปลี่ยนแปลงไป (ลดลง) เนื่องมาจากมีการสูญเสียพลังงานไปเมื่อมีการสัมผัสผิวงานที่มีระดับ ความสูงต่ำแตกต่างกัน

3. การศึกษาลักษณะพื้นผิวด้วยเครื่อง Scanning Electron Microscope (SEM)

เทคนิคที่นิยมใช้ในการศึกษาลักษณะพื้นผิวของฟิล์มนบาง คือ Scanning Electron

Microscope (SEM) ซึ่ง วีระศักดิ์ อุดมกิตเจชา และคณะ (2543) ได้อธิบายหลักการทำงานของ เครื่อง ไว้ดังนี้ เทคนิค Scanning Electron Microscope สัญญาณภาพที่ได้เกิดจากการใช้ตัวตรวจวัด อิเล็กตรอนทุติยภูมิ (Secondary Electron detector; SE detector) มาจับสัญญาณอิเล็กตรอนทุติยภูมิที่ เกิดขึ้น หรือใช้ตัวตรวจวัดอิเล็กตรอนกระเจิงกลับ (Backscatter Electron detector; BSE detector) มาจับสัญญาณอิเล็กตรอนกระเจิงกลับที่เกิดขึ้นดังแสดงในภาพที่ 2-22



ภาพที่ 2-22 องค์ประกอบหลักของเครื่องมือ Scanning Electron Microscope

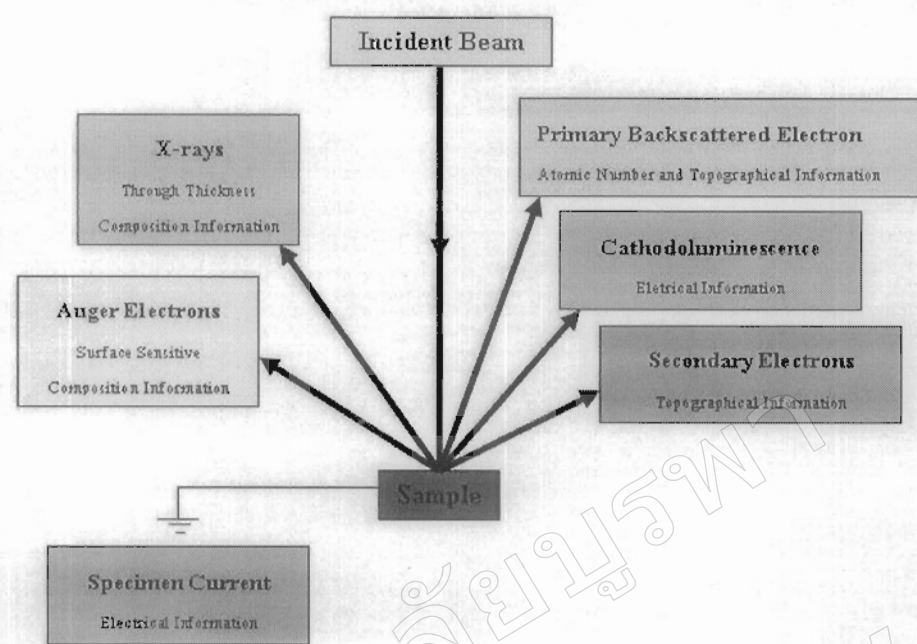
(www.purdue.edu/REM/rs/graphics/sem2.gif)

อิเล็กตรอนทุติยภูมิจากแหล่งกำเนิดอิเล็กตรอนจะถูกเร่งด้วยศักยไฟฟ้าสูงที่สามารถปรับค่าได้ จากนั้นจึงถูกดึงดูดลงสู่เบื้องล่างโดยแผ่นอะโนดภายในภายใต้ภาวะความดันสูญญากาศ 10^{-5} ถึง 10^{-7} torr และมีชุดคอนเดนเซอร์เลนส์ที่จะปรับลำอิเล็กตรอนให้มีขนาดเล็กลง เพื่อเป็นการเพิ่มความเข้มของลำอิเล็กตรอน จากนั้นลำอิเล็กตรอนจะวิ่งลงสู่เบื้องล่างผ่านเลนส์วัตตุ ซึ่งทำหน้าที่ในการปรับลำอิเล็กตรอนทุติยภูมิให้มีจุดโฟกัสบนผิwtawoyang พอดี และลำอิเล็กตรอนที่ตกรอบพิวัสดุหรือตัวอย่างจะมีขนาดในช่วง 5 ถึง 200 nm โดยมีชุดตรวจนิรภัยกันสะตอนของชาตุในวัตตุหรือตัวอย่างและเกิดการถ่ายโอนพลังงานที่ชั้นความลึกจากพื้นผิวที่ระดับต่าง ๆ ทำให้เกิดการปลดปล่อยสัญญาณอิเล็กตรอนชนิดต่าง ๆ ออกมานะ (ภาพที่ 2-23 และภาพที่ 2-24) สัญญาณภาพที่ได้จากสัญญาณอิเล็กตรอนชนิดต่าง ๆ ที่เกิด คือ

1. สัญญาณภาพจากอิเล็กตรอนทุติยภูมิ (Secondary Electron Image; SEI) หรือเป็นกลุ่มอิเล็กตรอนพลังงานต่ำ 3 ถึง 5 eV เกิดที่พื้นผิวระดับไม่ลึก โดยเกิดกันชาตุที่มีแรงขัดเหนียวอิเล็กตรอนที่ผิวตัว

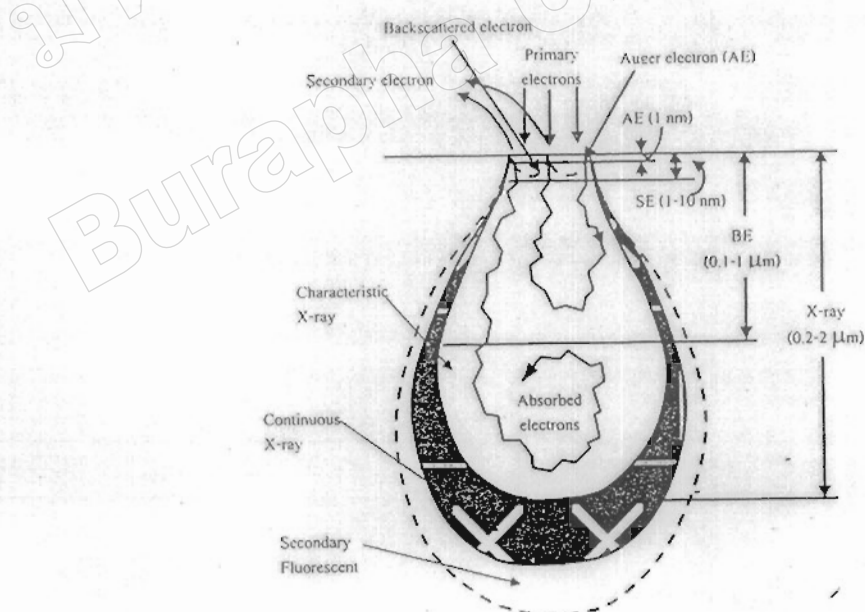
2. สัญญาณภาพจากอิเล็กตรอนกระเจิงกลับ (Backscattered Electron Image; BEI) หรือเป็นกลุ่มอิเล็กตรอนที่สัญญาณพลังงานเป็นบางส่วนและกระเจิงกลับออกมานะ

3. สัญญาณภาพจากรังสีเอกซ์ (X-ray Electron Image; XRI) ชนิดที่เป็นรังสีเอกซ์เฉพาะตัวเป็นคลื่นแม่เหล็กไฟฟ้าที่เกิดจากอิเล็กตรอนในระดับชั้น โคจรต่าง ๆ (K, L, M,...) ถูกกระตุ้นหรือได้รับพลังงานมากพอจนหลุดออกจากวงโคจรออกมานะ ทำให้อะตอนต้องรักษาสมดุลของโครงสร้างรวมภายในอะตอนโดยการดึงอิเล็กตรอนจากชั้น โคจรสักดี้ไปนาแทนที่ และต้องลดระดับพลังงานภายใน เนื่องจากอิเล็กตรอนที่ถูกดึงมาแทนที่ระดับพลังงานสูงกว่า โดยการปลดปล่อยพลังงานส่วนเกินออกมานะในรูปคลื่นแม่เหล็กไฟฟ้า เพื่อทำให้ตัวเองมีพลังงานเท่ากับวงโคจรที่ไปแทนที่ ซึ่งคลื่นแม่เหล็กไฟฟ้าในแต่ละชาตุ จึงสามารถนำมาใช้ประโยชน์ในการวิเคราะห์ได้ทั้งเชิงปริมาณและคุณภาพ



ภาพที่ 2-23 การเกิดอันตรกิริยาระหว่างอิเล็กตรอนปัจุบันกับตัวอย่าง

(วีระศักดิ์ อุ่นกิจเดชา และคณะ, 2543)



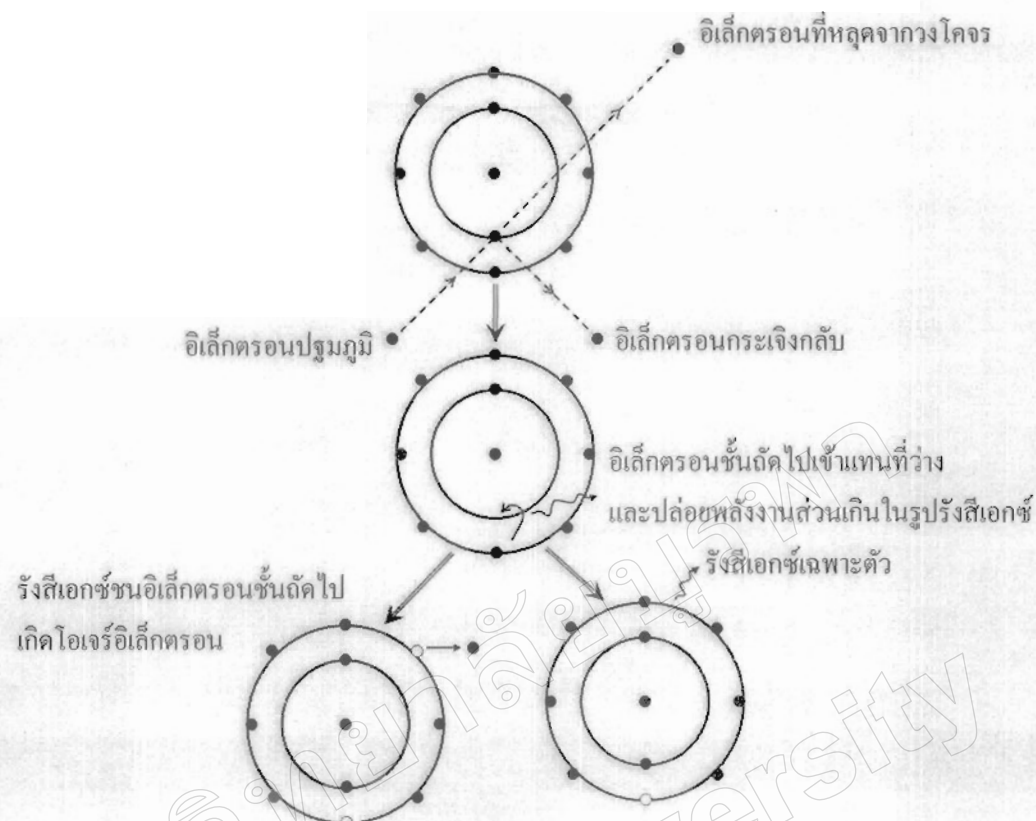
ภาพที่ 2-24 การเกิดอันตรกิริยาระหว่างอิเล็กตรอนปัจุบันกับตัวอย่างที่ระดับชั้นความลึกต่าง ๆ

(วีระศักดิ์ อุ่นกิจเดชา และคณะ, 2543)

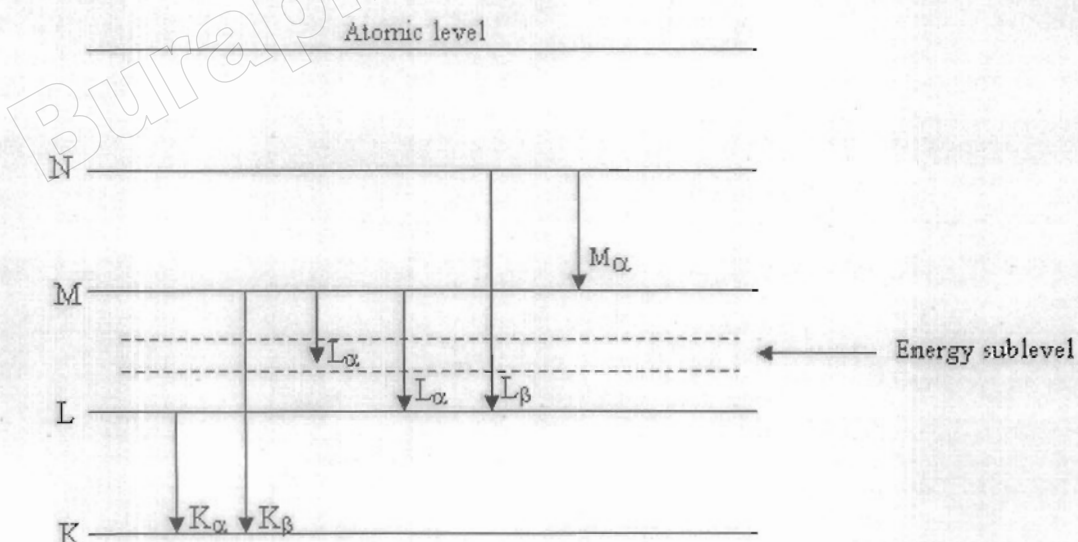
4. การศึกษาองค์ประกอบของธาตุทางเคมีด้วยเครื่อง Energy Dispersive X-ray spectroscopy (EDX)

ลักษณะเฉพาะสำคัญอีกประการหนึ่งของฟิล์มบางคือ องค์ประกอบของธาตุทางเคมีเทคนิคที่นิยมใช้ศึกษาองค์ประกอบของธาตุทางเคมีของฟิล์มบาง คือ Energy Dispersive X-ray spectroscopy ซึ่ง วิรัศักดิ์ อุดมกิตติเดชา และคณะ (2543) ได้อธิบายหลักการทำงานของเครื่องไว้ดังนี้ เมื่อลำอิเล็กตรอนพลังงานสูงเข้าชนอิเล็กตรอนในวงโคจรชั้นในของอะตอม เช่น ชั้น K หรือชั้น L แล้วเกิดการถ่ายโอนพลังงานให้แก่อิเล็กตรอน ทำให้อิเล็กตรอนชั้นในที่ได้รับพลังงานดังกล่าวมีพลังงานสูงขึ้นกินพลังงานขึ้นของชั้น โครงการจึงหดตัวของมาจากการ ทำให้เกิดที่ว่างของอิเล็กตรอนในชั้น โครงการ จากนั้นอะตอมที่อยู่ในสถานะกระตุ้นลดระดับพลังงานลงสู่สภาวะปกติในช่วงระยะเวลาอันสั้น (10^{-15} วินาที) โดยอิเล็กตรอนของวงจรชั้นถัดออกไปลดระดับพลังงานลงมาเท่ากับพลังงานขึ้นของวงจรที่เกิดที่ว่างของอิเล็กตรอน ด้วยการปล่อยพลังงานส่วนเกินในรูปของรังสีเอกซ์ แล้วอิเล็กตรอนจะเข้ามาแทนที่ พลังงานส่วนเกินนี้มีพลังงานเท่ากับความต่างของระดับพลังงานขึ้นของวงจรที่เกิดที่ว่างของอิเล็กตรอน และเฉพาะของธาตุนั้น ๆ จึงมีค่าพลังงานเฉพาะค่า เรียกว่า “รังสีเอกซ์เฉพาะตัว” ดังแสดงในภาพที่ 2-25 และภาพที่ 2-26

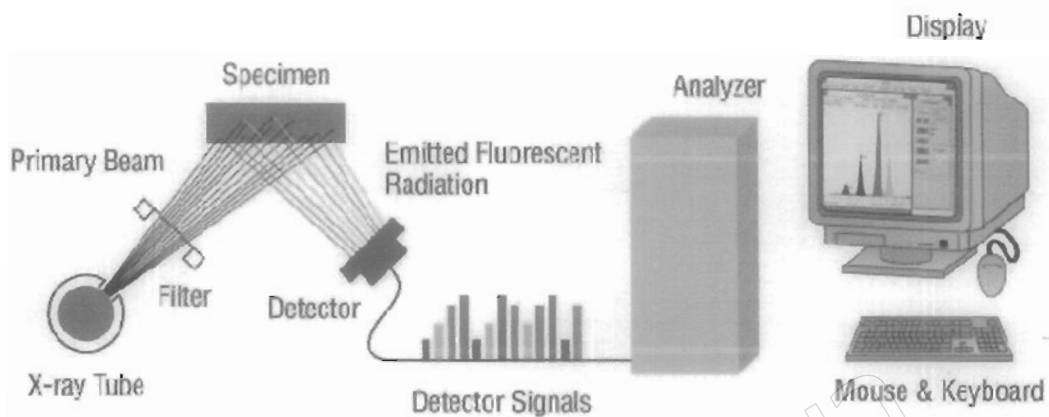
ในระบบการวิเคราะห์ธาตุด้วยรังสีเอกซ์แบบ EDX หัววัดรังสีที่นิยมใช้ในปัจจุบัน คือ หัววัดรังสีแบบ Si (Li) ซึ่งเหมาะสมสำหรับการวัดรังสีเอกซ์เฉพาะตัวที่มีพลังงานในช่วง 1 ถึง 30 keV หรือหัววัดชนิดเจอร์มานียมความบริสุทธิ์สูง (High Purity Germanium; HPGe) ซึ่งสามารถวัดรังสีเอกซ์เฉพาะตัวได้ช่วงกว้างคือ 3 ถึง 200 keV โดยหัววัดรังสีเอกซ์ทั้งสอง แบบ จะเปลี่ยนพลังงานของรังสีให้เป็นสัญญาณไฟฟ้าในรูปของสัญญาณไฟฟ้าที่ทางออกของหัววัดจะเป็นปฎิภาคโดยตรงกับพลังงานของรังสีเอกซ์ที่ตัดกรายตอนหัววัด จากนั้นวงจรขยายแบบช่องเดียวหรือหลายช่องจะเก็บสัญญาณไฟฟ้าจากหัววัดในหน่วยความจำที่อยู่ภายในเครื่อง และแสดงผลวิเคราะห์บนจอภาพในรูปของสเปกตรัม พร้อมทั้งผลวิเคราะห์เชิงปริมาณและคุณภาพโดยโปรแกรมสำเร็จรูปดังภาพที่ 2-27 และภาพที่ 2-28



ภาพที่ 2-25 การกระตุ้นให้เกิดรังสีเอกซ์เฉพาะตัวโดยใช้ลำอิเล็กตรอน
(วีระศักดิ์ อุคਮกิจเดชา และคณะ, 2543)

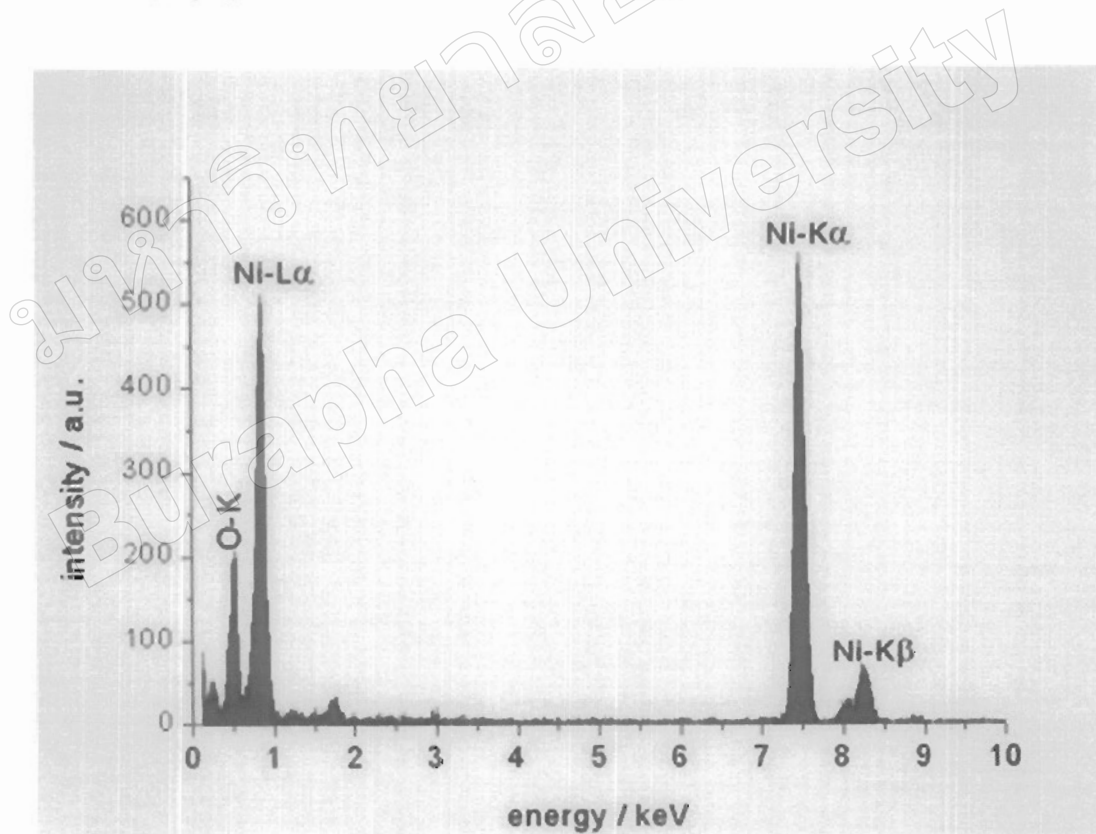


ภาพที่ 2-26 การเกิดรังสีเอกซ์เฉพาะตัวที่ระดับพลังงานของชั้นโคจรต่าง ๆ
(วีระศักดิ์ อุคਮกิจเดชา และคณะ, 2543)



ภาพที่ 2-27 องค์ประกอบหลักของเครื่องมือ Energy Dispersive X-ray spectroscopy (EDX)

(<http://pirun.ku.ac.th/~fscipww/instrutech.doc>)



ภาพที่ 2-28 ตัวอย่างการวิเคราะห์องค์ประกอบของธาตุทางเคมีด้วยเทคนิค EDX

(www.ifw-dresden.de/institutes/ikm/organisatio)

งานวิจัยที่เกี่ยวข้อง

ฟิล์มบาง โครงเมี่ยมวานเดี่ยม ในไตรค์ เป็นฟิล์มบางหรือชั้นเคลือบแข็งในกลุ่มชั้นเคลือบของสารประกอบสามชนิด ที่เหมาะสมสำหรับงานด้านการเคลือบแข็งบน Tooling หรือ High Speed Machining มากกว่ากลุ่มชั้นเคลือบของสารประกอบสองชนิด ซึ่งทำได้โดยการพ่นวานเดี่ยม (V) ในระหว่างกระบวนการเตรียมฟิล์มบาง ทำให้ได้ฟิล์มที่มีความแข็งสูง สามารถทำงานได้ดีในช่วงความร้อนสูงประมาณ 800°C (Hilmar & John, 2007) ด้านทานการเกิดออกซิเดชัน การขัดสีและการกัดกร่อน ได้ดี มีสัมประสิทธิ์การเสียดทานต่ำ (Uchida et al., 2004) ช่วยยืดอายุการใช้งานที่เคลือบให้นานขึ้น ทำให้มีการศึกษาวิจัยและพัฒนาเทคนิคและกระบวนการเตรียมฟิล์มบาง โครงเมี่ยมวานเดี่ยม ในไตรค์ ด้วยวิธีรั่วแลกตีฟ แมกนีตอรอน โคลสปัตเตอริง มีข้อได้เปรียบที่ยืนหนาแน่น ใช้อุณหภูมิในการเคลือบชั้นงาน ต่ำ สามารถคงความคุณสัคส่วนขององค์ประกอบชาตุของฟิล์ม ได้สัดส่วนและไม่บุ่งยากเพียงแค่ประค่า กระแสไฟฟ้าที่จ่ายให้แก่เป้าสารเคลือบท่านั้น และสามารถประยุกต์ใช้กับงานเคลือบขนาดใหญ่ได้ในช่วงที่ผ่านมา มีงานวิจัยที่เกี่ยวข้องโดยสรุปดังนี้

Uchida et al. (2004) ศึกษาเปรียบเทียบความด้านทานต่อการกัดกร่อนและความทนทานต่อการเสียดสีระหว่างวัสดุของฟิล์ม โครงเมี่ยม ในไตรค์ ฟิล์ม โครงเมี่ยมอะลูминีียม ในไตรค์ และฟิล์ม โครงเมี่ยมวานเดี่ยม ในไตรค์ เนื่องจากฟิล์ม โครงเมี่ยม ในไตรค์ถูกนำมาประยุกต์ใช้อย่างกว้างขวางในงานปั้นแม่พิมพ์ตอกโลหะ และงานชิ้นส่วนเครื่องจักรกล ในงานวิจัยนี้นำเสนองานเพิ่มอะลูมิเนียม และวานเดี่ยมเข้าไปในฟิล์ม โครงเมี่ยม ในไตรค์ซึ่งถูกคาดหวังว่าจะไปเพิ่มสมบัติ tribological ของฟิล์ม โดยฟิล์ม CrN, CrAlN และ CrVN ถูกเคลือบด้วยวิธีเคมีโคโรเดอร์ ไอออนเพลทติ้ง ฟิล์มที่เคลือบแล้วนำไปวิเคราะห์ทางโครงสร้างผลึกด้วยเทคนิค XRD และหาองค์ประกอบชาตุด้วยเทคนิค EDX พิจารณาการเดี่ยวบนของฟิล์มทั้งสาม ภายใต้เดียวกันในตำแหน่งแต่ละตำแหน่งและตำแหน่งของ prefer orientation เพราะโครงสร้างผลึกและค่าคงที่เดียวกันของฟิล์ม CrN, CrAlN และ CrVN มีค่าไกเดียวกัน องค์ประกอบชาตุของฟิล์มที่เคลือบโดยเพิ่มอะลูมิเนียมและวานเดี่ยมเข้าไปมีค่าโดยประมาณ $\text{Cr}_{70}\text{Al}_{30}\text{N}$ และ $\text{Cr}_{50}\text{V}_{50}\text{N}$ การวัดความแข็งโดยเทคนิค Knoop แสดงให้เห็นว่า ฟิล์ม โครงเมี่ยมอะลูมิเนียม ในไตรค์ มีความแข็งมากกว่าฟิล์ม โครงเมี่ยม ในไตรค์และฟิล์ม โครงเมี่ยม วานเดี่ยม ในไตรค์ การทดสอบความด้านทานต่อการขัดสีและความสึกหรอถูกดำเนินการด้วยเครื่อง ball-on-disk Tribometer โดยใช้สแตนเลสสตีลและซีเมนต์คาร์บอนเป็นลูกบล็อกซึ่งการทดสอบแบ่งเป็นทดสอบโดยใช้น้ำมันหล่อลื่นและทดสอบโดยไม่ใช้น้ำมันหล่อลื่น ในการทดสอบโดยใช้บล็อกที่ทำจากแสตนเลสสตีล โดยการไม่ใช้สารหล่อลื่นพบว่าในฟิล์ม โครงเมี่ยม ในไตรค์เกิดการแตกเป็นแผ่นซึ่งไม่พบว่าเกิดขึ้นในฟิล์ม โครงเมี่ยมอะลูมิเนียม ในไตรค์และฟิล์ม โครงเมี่ยมวานเดี่ยม ใน

ไตรค์ ในกรณีที่ทดสอบความด้านทานต่อการสึกหรอคัวบยนอลที่ทำจากซีเมนต์คาร์บอนพูนว่าเกิดรอยลักษณะไปเกือบถึงวัสดุรองรับในฟิล์มโครเมียมในไตรค์ ค่าสัมประสิทธิ์แรงเสียดทานของฟิล์มโครเมียมในไตรค์และฟิล์มโครเมียมอะกูมินิยมในไตรค์มีค่าใกล้เคียงจนเกือบจะเท่าๆ กันแต่ในฟิล์มโครเมียมวานาเดียมในไตรค์พบว่ามีค่าต่ำกว่าฟิล์ม สรุปได้ว่าการเพิ่มวานาเดียมลงไปในฟิล์มโครเมียมในไตรค์เป็นการปรับปรุงสมบัติที่ได้ผลดีที่สุดในเรื่องของคุณสมบัติ tribological

Yilkiran et al. (2012) ศึกษาเปรียบเทียบสมบัติของฟิล์มฟิล์มโครเมียมวานาเดียมในไตรค์ (CrVN) ชั้นเคลือบด้วยระบบ PVD และฟิล์มนางไทเทเนียมโนบอรอนในไตรค์ (Ti-B-N) ชั้นเคลือบด้วยระบบ PECVD เมื่อออกจากงานที่มีลักษณะที่ชื้นงานได้รับแรงซ้ำไปซ้ำมาส่างผลให้เกิดความร้อนและการกัดกร่อนทางเคมีสูง เมื่อสิ่งเหล่านี้เกิดขึ้นพร้อมกันจะทำให้ส่วนประกอบต่างๆ ของเครื่องมือเกิดความเสียหายหลังจากใช้งานได้ไม่นาน ชั้นคิดเป็น 70 เบอร์เซ็นต์ของสาเหตุที่เกิดขึ้นทั้งหมด การสึกหรอของเครื่องมือเป็นสาเหตุหลักที่ทำให้เกิดขึ้นต้องมีการปรับปรุงกระบวนการผลิต อีกทั้งปัจจัยอื่นๆ ที่ทำให้เกิดความเสียหายของเครื่องมือคือรอยแตกเนื่องจากความร้อนและความร้อนสูง ความเสียหายที่เกิดขึ้นในช่วงของการผลิตนี้สามารถทำให้ลดลงได้โดยการทำการปรับปรุงพื้นผิวของเครื่องมือทำให้เกิดการพัฒนาระบบใหม่ที่มีสักษภาพสูงมากกว่างานวิจัยที่ผ่านๆ มา คือการเคลือบด้วยระบบ PVD และ PECVD ซึ่งทำให้ได้ผลลัพธ์ที่แตกต่างไปจากเดิมในเรื่องของการลดการสูญเสียซึ่งเกิดจากการสึกหรอ การปรับปรุงพื้นผิววัสดุทำให้โดยการเคลือบฟิล์มโครเมียมวานาเดียมในไตรค์ด้วยระบบ PVD และการเคลือบฟิล์มไทเทเนียมโนบอรอนในไตรค์ด้วยระบบ PECVD การตรวจสอบนั้นพนฐานของ การสึกหรอที่เกิดขึ้นแสดงให้เห็นถึงคุณสมบัติของระบบที่ใช้ในการเคลือบซึ่งต้องมีการปรับให้เข้ากับลักษณะการใช้งานและความเสียหายที่จะเกิดขึ้นระหว่างใช้งาน

Chinsakolthanakorn et al. (2012) ศึกษาผลของการแสเปร่าไทเทเนียมที่มีต่อลักษณะเชิงทางของฟิล์มนางไทเทเนียมเซอร์โคเนียมในไตรค์ที่เตรียมด้วยวิธีร็อกทีฟ ดีซี แมกนีตรอน โคล สปัตเตอริ่ง โดยทำการแปรค่ากระแสของแสเปร่าไทเทเนียมในช่วง 0.6 ถึง 1.2 แอมเปอร์ โดยใช้เป้าแยกแบบโคลสปัตเตอร์ ของไทเทเนียมและเซอร์โคเนียม โดยที่เวลาในการเคลือบคงที่ อัตราส่วนระหว่างอัตรา กอนและในไตรเจนคงที่เท่ากับ 8:6 sccm จากนั้นนำฟิล์มนางที่เคลือบได้ไปศึกษาโครงสร้างผลึกด้วยเทคนิค X-ray diffraction (XRD) ศึกษาลักษณะพื้นผิวโดยคลองค่าความหนาผิวด้วยเทคนิค Atomic Force Microscopy (AFM) วิเคราะห์ห้องคปประกอบของชาตุด้วยเทคนิค Field Emission Scanning Electron Microscopy (FE-SEM) พบร่วมกับโครงสร้างผลึก ลักษณะพื้นผิว และองค์ประกอบชาตุขึ้นอยู่กับค่าพารามิเตอร์ต่างๆ ในการเคลือบ โดยฟิล์มที่เคลือบได้มีโครงสร้างผลึกที่มีรูปร่าง (111)(200) และ (220) โดยมีรูปร่าง (200) เป็น Preferred Orientation โครงสร้างผลึกของ

พิล์มเปลี่ยนไปตามกระแสของปี้าไทเทเนียม จากการวิเคราะห์ด้วยเทคนิค AFM แสดงให้เห็นถึงการรวมตัวกันแบบหยาบๆ ของเกรนเมื่อกระแสของปี้าไทเทเนียมเพิ่มขึ้น ซึ่งเป็นผลให้ค่ารากที่สองของกำลังสองเฉลี่ยของความหยาบผิว (R_{rms}) เพิ่มขึ้นจาก 2.7 เป็น 11.6 นาโนเมตร และเป็นผลให้ค่าเฉลี่ยของความหนาเพิ่มขึ้นอย่างต่อเนื่องจาก 347.1 ถึง 751.8 นาโนเมตร เมื่อเพิ่มกระแสของปี้าไทเทเนียมอัตราส่วนระหว่างปี้าไทเทเนียมต่อเซอร์โคเนียมเพิ่มขึ้นเป็น 0.9 และอัตราส่วนระหว่างไนโตรเจนต่อปี้าไทเทเนียมและเซอร์โคเนียมเพิ่มขึ้นเป็น 1.6